

Atelier « Météorologie : de l'atmosphère à l'espace »
Etudes de missions à base de nanosatellites
au CNES

André LAURENS – CNES/PASO

Origine : étude PASO Nanosats en 2013-2015

Objectifs

- ❖ Apporter un éclairage sur les types de mission que les nanosats permettraient de réaliser
- ❖ Identification de missions, de communautés clientes, de pistes techniques à suivre ou soutenir + modalités d'intervention / d'organisation, opportunités de coopération internationale

Première question : qu'est-ce qui se fait dans le monde ?

- ❖ Inventaire quantitatif / qualitatif, technique / organisationnel / programmatique

Conclusions : constat d'une activité riche dans les domaines technologique et scientifique

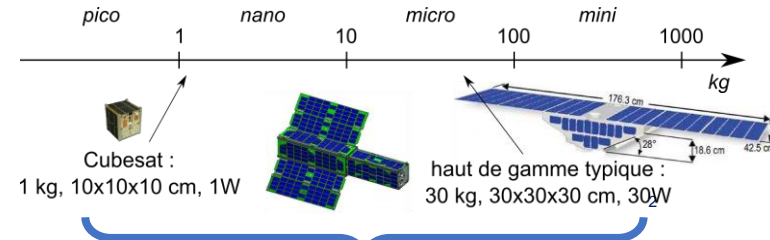
- ❖ de nouveaux paradigmes technico-économiques possibles,
- ❖ des enjeux et des modalités de développement différentes du spatial traditionnel

2013 à 2016 : divers ateliers organisés par la communauté scientifique française

- ❖ Intérêt pour les nanosatellites scientifiques : enseignement, démonstration, « première science »

2015 : atelier nanosatellites CNES + communauté scientifique française à la demande du CPS

- ❖ Expression d'un **intérêt évident pour des utilisations scientifiques** de ce gabarit
 - Présentation de 2 premières idées : NanoMagSat et NOIRE
- ❖ Décision de **lancer quelques phases 0 dédiées** dans le but de « tester » l'intérêt des nanosats pour la science



Etude PASO Nanosats de 2013-2015

Conclusion structurante : un nouveau gabarit, des capacités différentes

- ➔ Systèmes spatiaux : tirer parti explicitement de la petite taille
 - nouveaux paradigmes, jusqu'alors inaccessibles ne serait-ce qu'économiquement parlant

Les constellations, grappes, essaims...

- ❖ Echanger de la performance individuelle contre la mesure multipoint, la couverture spatiale et temporelle
 - Quelle performance individuelle minimale pour que la mesure garde un sens?
 - Quelles contraintes supplémentaires sur le système, sur les éléments?
 - ➔ Pas de réponse toute faite : à étudier en fonction de la mission
- ❖ Echanger de la fiabilité/durée de vie individuelle contre de la robustesse au niveau système (résilience)
 - Quel coût pour quelle durée de mission/service?
 - Quelle équation économique pour des satellites « jetables »?

Cubesat or not cubesat?

- ❖ Missions « deep space » : un minimum de fiabilité / enjeu
 - Survivre à la croisière, à l'environnement spatial
 - Landers, etc. : pertinence du format cubesat?
- ❖ Compatibilité COTS avec une mesure scientifique « propre » ?



Petits, oui mais pas forcément pas chers !

Phases 0 Nanosats pour la Science

GNSS-RO (cf. Dominique Raspaud)
ULID aka *DemoSMOS*
C3IEL (cf. Eric Defer)
IONOGLOW



Sciences de la Terre

Sciences de l'Univers

NOIRE
RENSEM aka *NETSSEM* (cf.
François Leblanc)



ULID

Unconnected L-band Interferometer Demonstrator



François CABOT, Eric ANTERRIEU – CESBIO
Linda TOMASINI – CNES / PASO

ULID / DemoSMOS : Contexte et objectifs

Historique : phase 0 SMOS-Next menée en 2012-14

- ❖ Expression du besoin mission pour l'observation de l'humidité des sols et la salinité des océans → Résolution spatiale kilométrique
 - ❖ Travail théorique sur plusieurs concepts de mesure :
 - Synthèse d'ouverture spatio-temporelle
 - Corrélation dans Fourier
 - Généralisation SMOS
- ➔ *Aucun concept validé ne permettait de répondre au besoin*

Etude d'un nouveau concept : phase 0 conduite en 2017

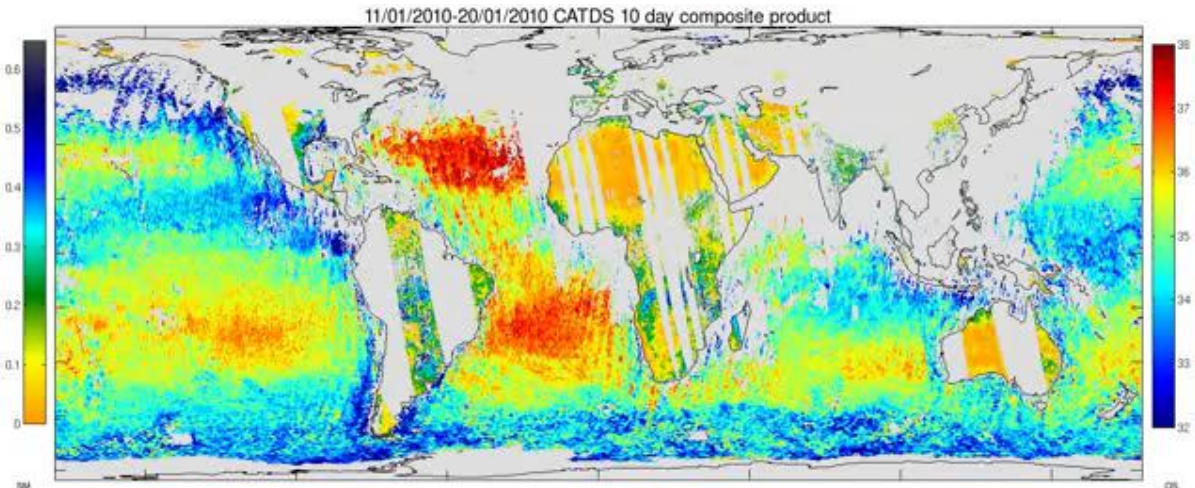
- ❖ Etude d'un démonstrateur **d'interférométrie non-connectée** et du principe de mesure par synthèse d'ouverture spatio-temporelle
- ❖ Scénarios à base de nanosats

ULID : Mission

Context

❖ SMOS heritage

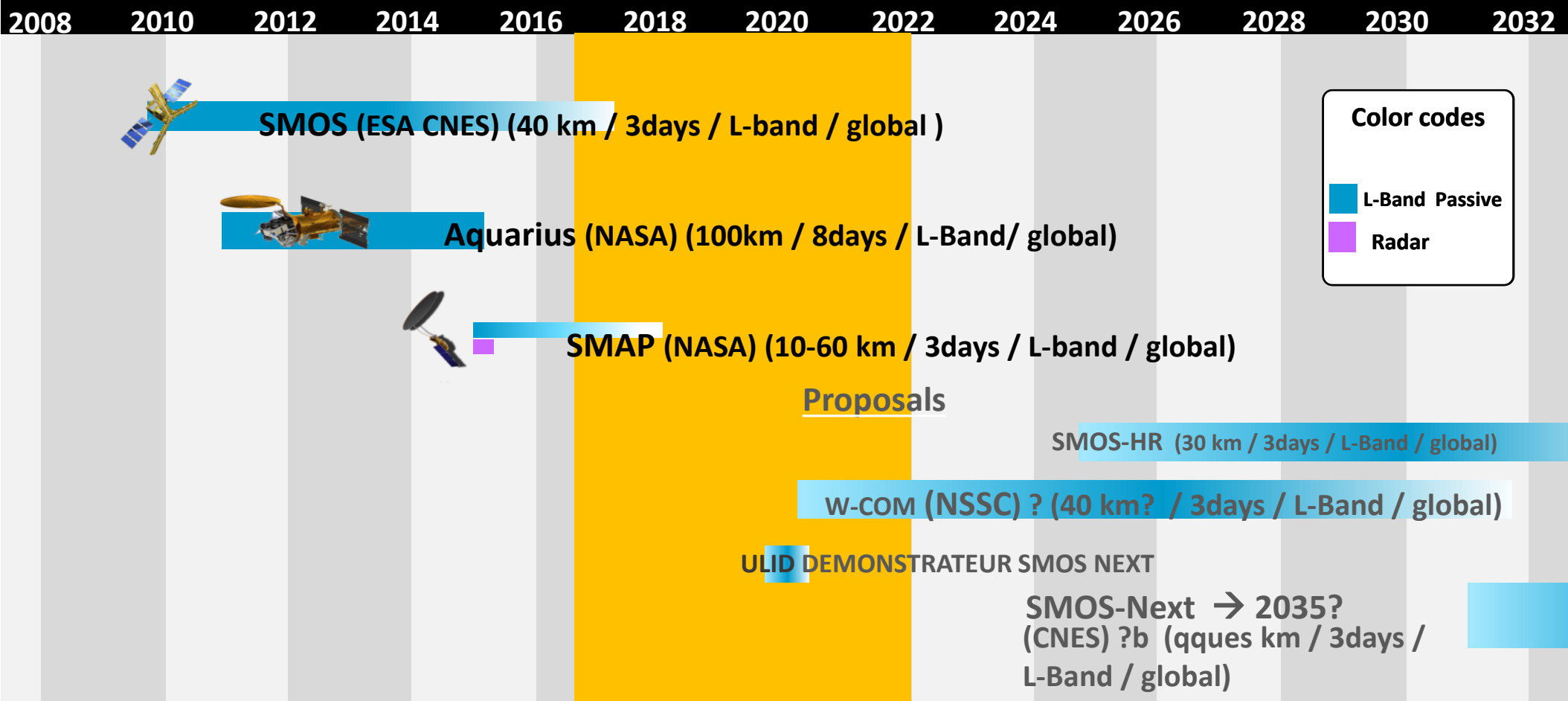
- Benefit of continuous measurements of Soil Moisture and Ocean Salinity demonstrated
- Passive microwave at L-band most effective for absolute soil moisture and ocean salinity
- Resolution enhancement techniques proven effective (merging other sources, active and/or passive)
- Progresses in interferometric measurement processing



❖ Follow up mission design study (2014) conclusions

- Main limitations are **spatial resolution** and **RFI contamination**
- **At least 10 times better resolution is expected (4km)**
- Radiometric accuracy same at the very least (2K)
- Revisit equivalent (3 days)
- Directional capability a clear asset

ULID / L-Band radiometry missions



Instrument concept

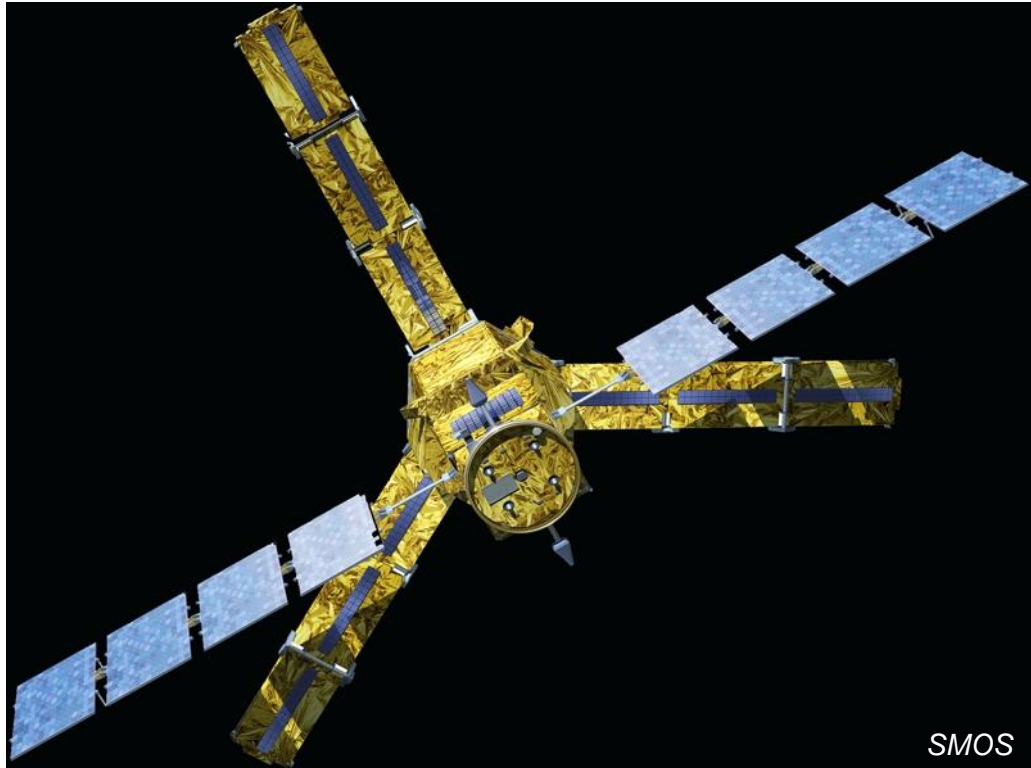
Comparison of Techniques

❖ Real aperture

- Excellent sensitivity
- Effective RFI mitigation technique available
- Large mobile structure
- Added complexity to on orbit maneuvering

❖ Interferometer

- Directional capacity
- Higher spatial resolution available
- Modular payload
- Radiometric accuracy rapidly decreases



ULID : Configuration de référence

Vol en formation « non contrôlée »

- ❖ Au moins 2 antennes, séparées de quelques dizaines de m
 - mais 3 serait bien mieux
- ❖ Orbite SMOS utilisée comme référence 6am-6pm
- ❖ Mouvement relatif obtenu par combinaison : Oscillation (hors-plan) + Révolution (dans-le-plan)
- ➔ La solution de vol en formation retenue garantit la constitution des lignes de base voulue
- ➔ Restituer la « forme » de l'antenne pour le traitement interférométrique



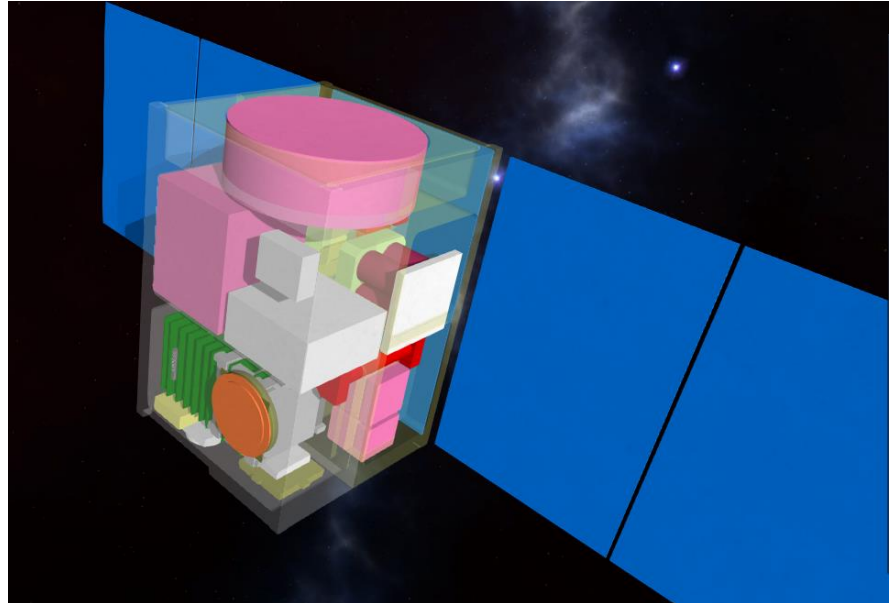
ULID : Satellites

Modèle 12U type Angels (Nexeya)

- ❖ GS, 3 roues, magnétocoupleurs, 2 senseurs solaires, 1 senseur stellaire, propulsion gaz froid, télécoms bande S, X
- ❖ Charge utile bande L : Front end inspiration LICEF + Chaine de traitement bord
- ❖ Possibilité d'une liaison wifi à étudier

Fonctions « système instrument »

- ❖ Détermination de la ligne de base
 - Connaissance de la position relative des antennes < 3mm
- ❖ Datation relative
 - Connaissance des biais d'horloge et dérive pendant la mesure < 10-11s
- ❖ Echantillonnage
 - Couverture de la bande d'analyse et des bandes adjacentes pour détermination autonome de la ligne de base



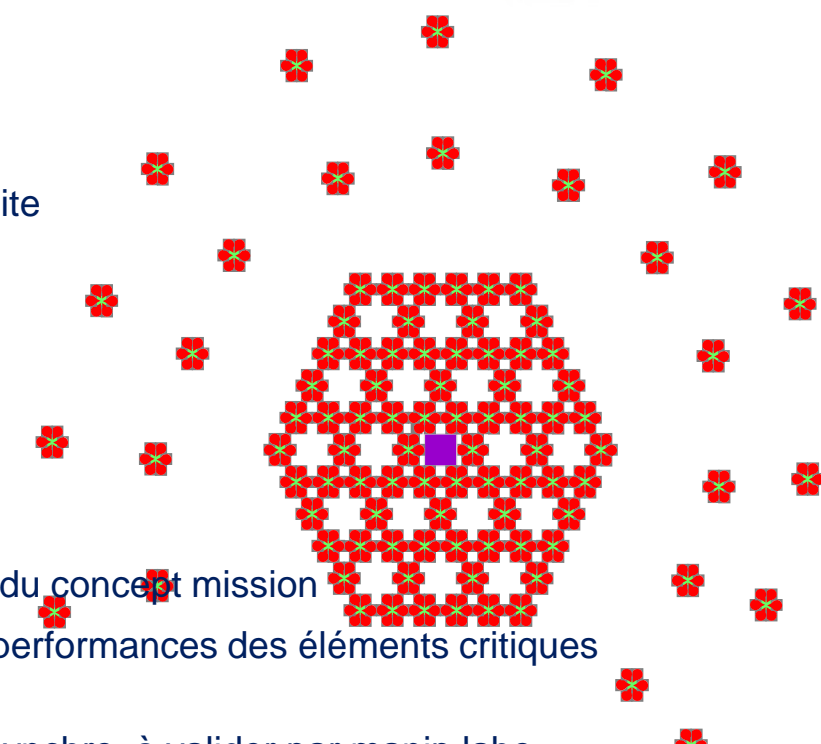
ULID : Perspectives

ULID est une préfiguration d'un système plus complexe

- ❖ Sa durée de développement devrait donc être nécessairement réduite
- ❖ Car le système complet sera beaucoup plus long à développer
- ❖ Sauvegarde de la bande L

Plan de travail phase A de maturation

- ❖ Simulation « end-to-end »
- ❖ Définition du scenario d'acquisition
- ❖ Définition des produits de la mission et des méthodes de validation du concept mission
- ❖ Bilan de performances de la chaîne d'acquisition + vérification des performances des éléments critiques identifiés
- ❖ Elaboration d'une méthode de levée d'ambiguïté de phase pour la synchro, à valider par manip labo
- ❖ Consolider le plan d'utilisation des fréquences
- ❖ Conception du *front end*
- ❖ Analyse d'un scénario à 3 satellites





C3IEL

Cluster for Climate and Cloud Imaging of Evolution and Lightning

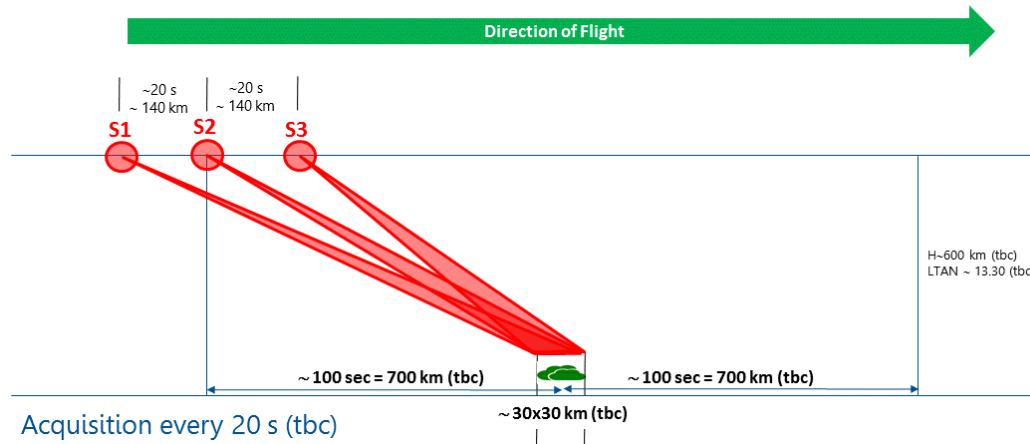
Christine FALLET, Claude FRATTER – CNES / PASO

Pierre TABARY – CNES / TEC

La mission

- Après Vénus → projet de mission franco-israélienne (CNES – ISA) « quick and cheap »
- Phase 0 conjointe en cours depuis 2017
- Train de 2 à 4 nanosats embarquant une suite d'instruments → étude HR des nuages (20 m)
 - 2 à 4 caméras visibles (avec canal vapeur d'eau) → 3D
 - 1 à 2 imageur(s) + photomètre(s) d'activité électrique → orages
 - 1 à 2 spectromètre(s) → chimie
- Observation coordonnée de scènes nuageuses sur des fenêtres de 200 secondes, avec des prises de vue simultanées sous différents angles toutes les 20 secondes (10 multi-prises de vues au total)
- Mesures à contextualiser / combiner avec d'autres observations (issues des GEO, JPSS, ...)

Synergie
instrumentale



~ 20,000 scènes
nuageuses
intéressantes
échantillonées
sur
2 ans



Caméra
visible



Caméra
vapeur d'eau



Imageur
d'éclairs +
photomètre



Micro
spectromètre

Mesures du développement vertical et horizontal des nuages **à haute résolution spatiale (20 m)**

Mesures de la vapeur d'eau autour et au dessus du nuage (100 m – 1 km)

Mesures de l'activité électrique en lien avec la convection (y compris aux hautes latitudes)

Mesures de H₂O + NO_x, O₃ produit par l'activité électrique au sein du nuage

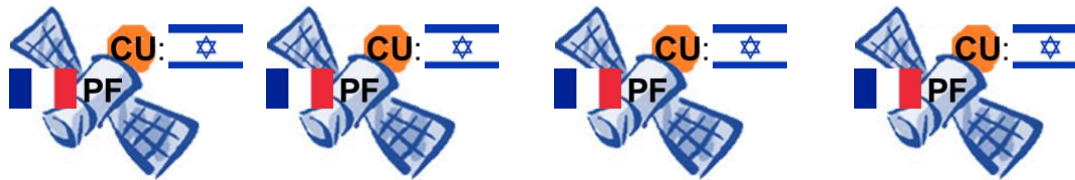
Retombées scientifiques attendues

- Progrès sur les processus des nuages convectifs à l'échelle des processus
- Progrès sur les interactions vapeur d'eau – aérosols - nuages
- Progrès sur les liens entre convections - activité électrique - production de NO_x & O₃
- Progrès sur le lien entre échelle régionale et échelle globale donc climatique

Le partage des responsabilités



• • • cnes • • •



PF = 6 ou 12U?

Segment spatial



Nombre de satellites : 2 à 4

Charges utiles (à répartir sur les satellites) :

- Caméras visibles (incl. canal vapeur d'eau) : 2 à 4 (1 / PF)
- Imageur + Photomètre électriques : 1 à 2 (1 / PF)
- Spectromètres : 1 à 2 (1 / PF)

Segment sol

Réseau de stations



Etablissement des spécifications en commun (mission, système, satellite)

Centres de contrôle et de mission





IONOGLOW

Ionospheric Dynamic & Tsunami Airglow Detector

Josiane COSTERASTE – CNES / PASO



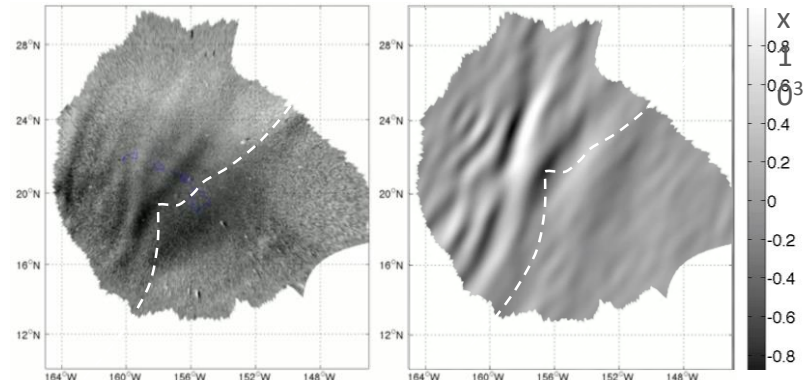
IONOGLOW : origines

2014 : première idée

- ❖ Proposition de l'IPGP au Séminaire de Prospective Scientifique du CNES
- ❖ Démonstration de mesure d'ondes ionosphériques générées par les séismes, sur la base d'un concept instrumental de caméra airglow compatible d'un format 3U

2017 : phase 0 pour instruire le concept

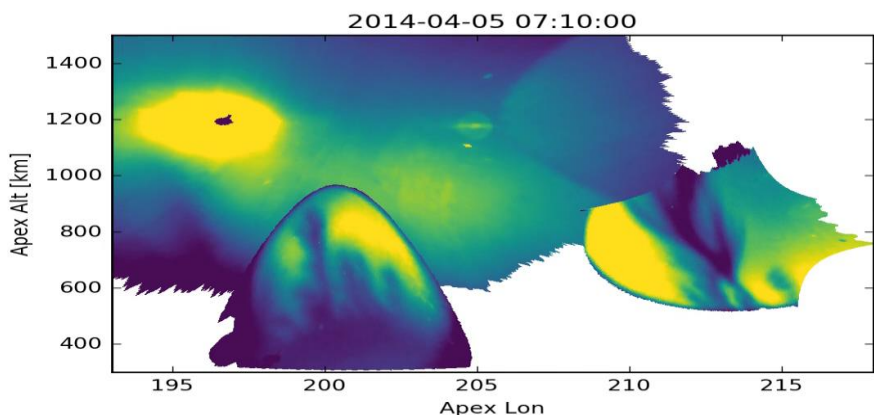
- ❖ Mission de démonstration sur nanosat
- ❖ Instrumentation : caméra airglow @ 630 nm compatible d'emport sur nanosat → physique de la mesure
- ❖ Concept mission : démonstration sur une orbite MEO



Mesures issues de caméras airglow sol

IONOGLOW : objectifs mission

- ❖ Définir les caractéristiques d'un télétsunami à des fins d'alerte à partir d'images de la ionosphère
 - Principe : l'interaction de l'onde de gravité générée par un séisme à la surface océanique s'amplifie et génère une modulation de l'airglow à 630nm caractéristique du tsunami
- ❖ Amélioration de la connaissance de la dynamique ionosphérique



Mesures issues de caméras airglow sol

IONOGLOW : contraintes et solutions

Pour la détection de tsunami :

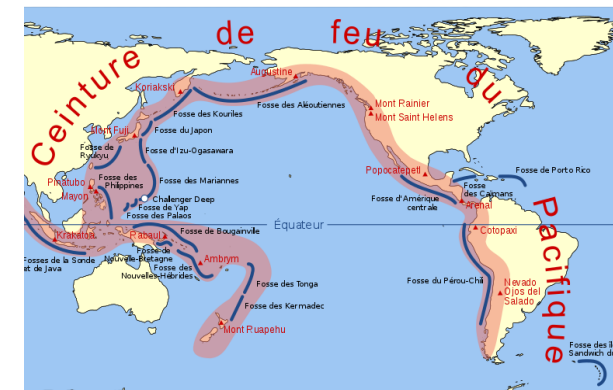
- ❖ Permanence d'observation : préférence pour l'orbite géostationnaire
 - MEO : probabilité insuffisante d'observer 1 événement dans la durée de vie et de visibilité
- ❖ Pointage sur la zone à observer : le Pacifique

→ Système de détection grand champ ou scanner

- ❖ Modulation d'une onde lumineuse
 - faible (1 à 15R)
 - sur un fond potentiellement élevé > 100R

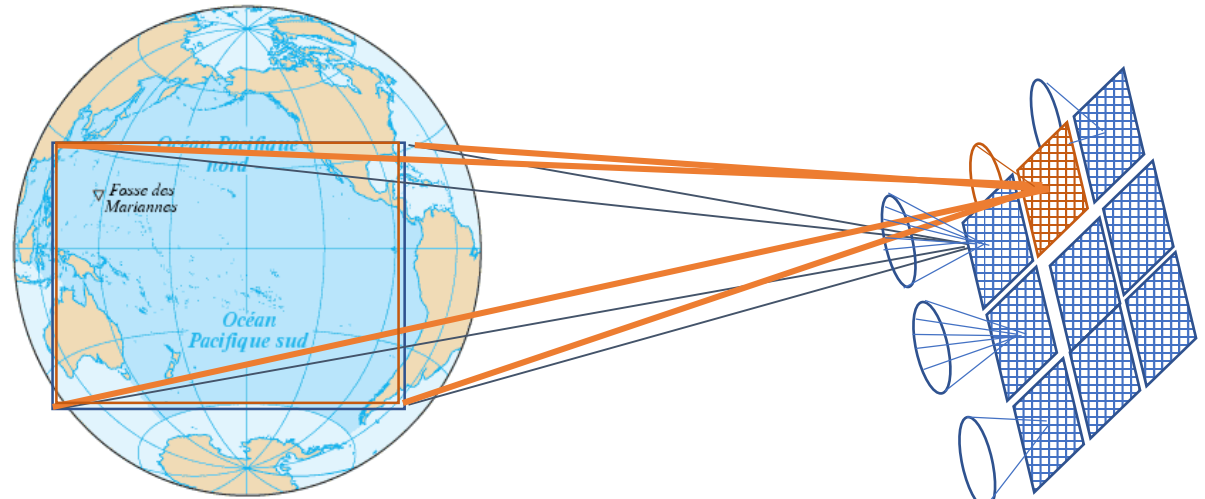
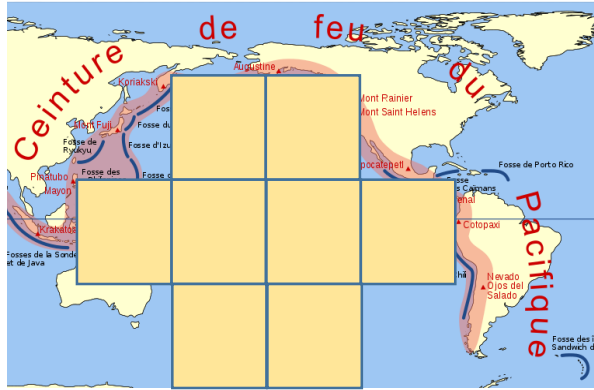
→ Détection de nuit

- ❖ Structure **sinusoïdale** de même caractéristique spatiale que l'onde de gravité :
 - Période 40 à 300km
 - Vitesse de propagation : 50 à 250m/s



IONOGLOW : solutions

Instrument de type imageur radiomètre (scanner ou multi pupille)



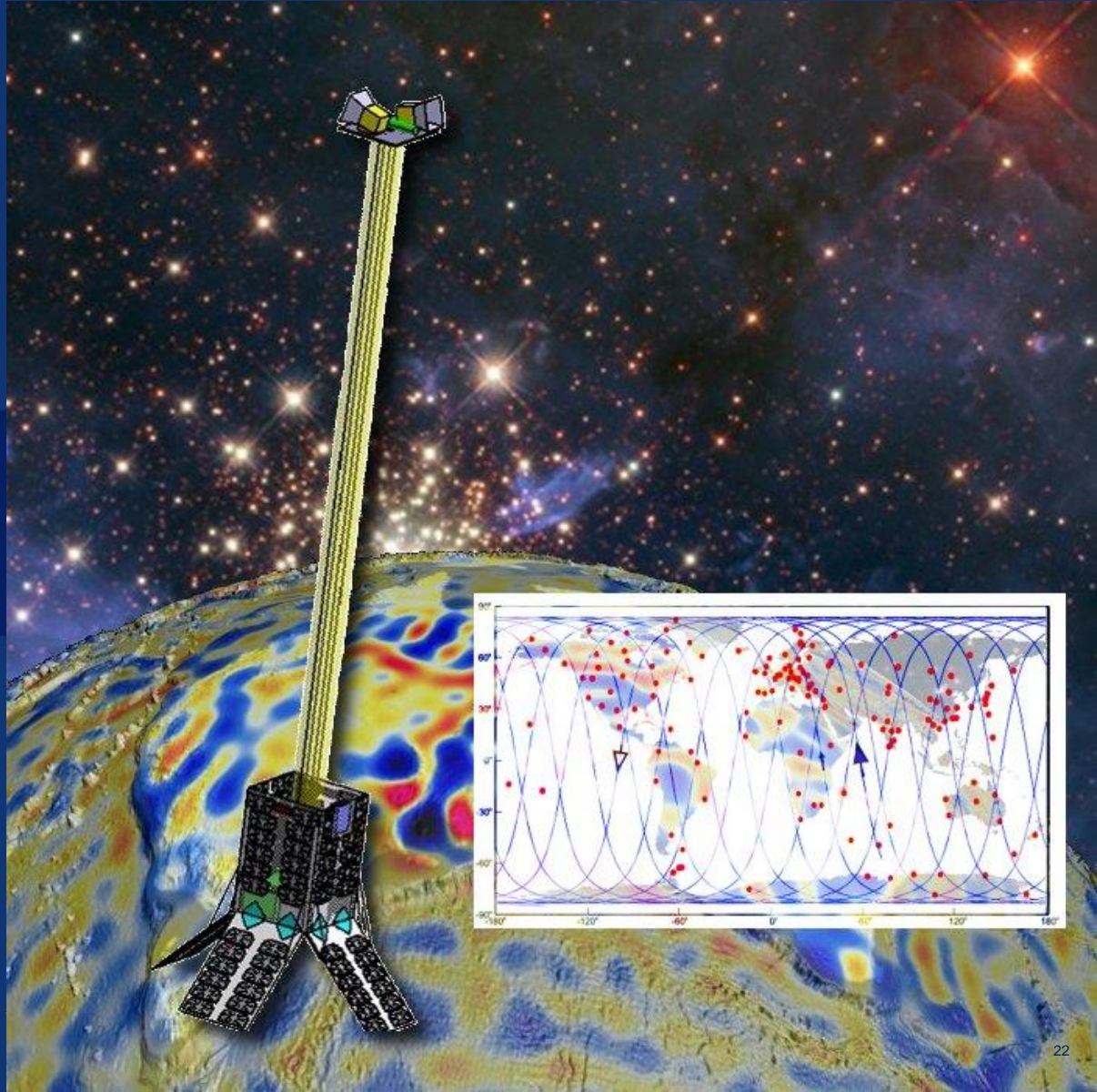
Taille de l'instrument :

- ❖ Pupille ≥ 20 cm, focale $\cong 20$ cm
- ❖ Masse / conso estimées
 - compatible d'un emport passager sur PF GEO
 - mais pas d'un nanosatellite



NanoMagSat

Linda TOMASINI, André LAURENS
CNES / PASO



NanoMagSat

2014 : première idée d'un petit satellite pour la magnétométrie

- ❖ Proposition de G. Hulot (IPGP) au Séminaire de Prospective Scientifique du CNES, basée sur le modèle de recharge de l'ASM de SWARM

2015 : atelier nanosats CNES + communauté scientifique française

- ❖ G. Hulot (IPGP) et J.-M. Léger (CEA-LETI) proposent une phase 0 dédiée
- ❖ Concept : embarquer la nouvelle génération de magnétomètre miniaturisé sur un nanosatellite pour une mission bas coût
- ❖ Missions : complémentaire de SWARM + précurseur d'un futur réseau de magnétomètres dans l'espace

ASM

- ❖ **Absolute Scalar Magnetometer:** héritage de SWARM, conçu et réalisé par le CEA-LETI
 - Principe : magnétomètre à pompage optique de l'hélium et résonance magnétique
 - Mise au point d'un mode de mesure vectoriel (à 1 Hz) validé pendant la mission SWARM



- ❖ Miniaturisation :

- Des études préliminaires au CEA/LETI

Phase 0 NanoMagSat

Objectifs :

- ❖ Proposer des scénarios système répondant à des classes d'objectifs scientifiques
- ❖ Contribuer à l'évaluation de l'intérêt du gabarit nanosatellite pour les missions scientifiques.
- ❖ Identifier les besoins en études et actions de R et T à mener pour consolider le design et affiner les spécifications en observables

Etude menée en interne CNES avec support IPGP et CEA

	Objectifs	Performances	Charge utile
N°1	Champ principal	$\ B\ : [0,1 \text{ Hz}], \sigma < 0.2 \text{ nT}$ $B_{\text{SAT}} : [0,1 \text{ Hz}], \sigma < 1.5 \text{ nT}$ Restitution attitude < 5 °	ASM +
N°2	Champ crustal	$\ B\ : [0,1 \text{ Hz}], \sigma < 0.2 \text{ nT}$ $B_{\text{SAT}} : [0,1 \text{ Hz}] \sigma < 0.8 \text{ nT}$	Star trackers + Sonde de Langmuir + GPS
N°3	Champ magnétosphérique	$\ B\ : [0,1 \text{ Hz}], \sigma < 1 \text{ nT}$	
N°4	Champ ionosphérique planétaire	$B_{\text{SAT}} : [0,1 \text{ Hz}] s < 1.5 \text{ nT}$	
N°5	Etudes ionosphériques <i>in situ</i>	$\ B\ : [1,250 \text{ Hz}], \sigma < 0.05 \text{ nT}$ $B_{\text{SAT}} : [1,250 \text{ Hz, voire 1 kHz}], \sigma < 0.05 \text{ nT}$ Restitution attitude < 0.5 °	+ capteur vectoriel HF
N°6	Perturbations ionosphériques de grande échelle	Te et Ne à 2 Hz, TEC	+ GPS TEC

NanoMagSat : applications et enjeux sociétaux

Enjeux liés à la connaissance du champ principal :

- ❖ La navigation (smartphones, navires, sous-marins, avions),
 - ❖ Le pointage (antennes, etc...),
 - ❖ La réduction de la signature magnétique des navires,
 - ❖ La détermination et le contrôle de l'attitude des satellites,
 - ❖ Le guidage des forages,
 - ❖ La modélisation de la propagation des ondes radio,
 - ❖ La détermination de la morphologie de la magnétosphère (ceintures de radiations),
 - ❖ La prédition à moyen terme des conditions magnétosphériques pour les satellites de longue durée de vie.

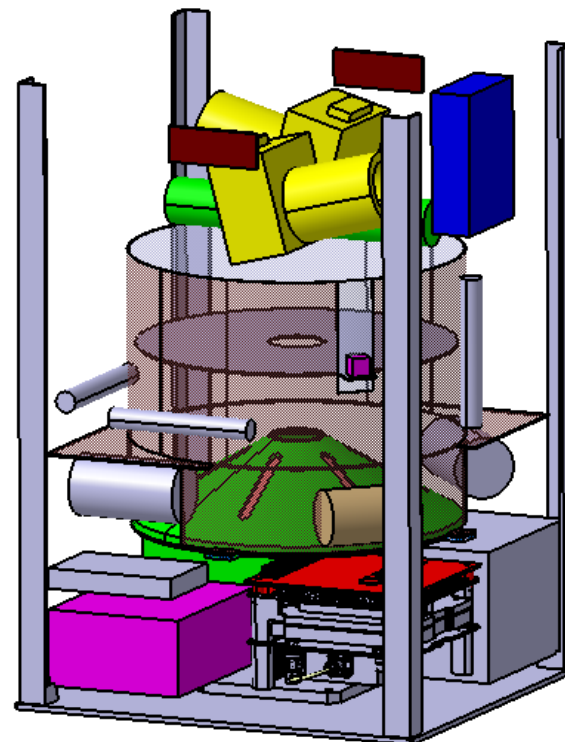
Météorologie spatiale :

- ❖ Surveillance de l'activité magnétique (état des courants magnétosphériques et ionosphériques) pour la prévention des problèmes sur les réseaux de distribution d'électricité ou les activités nécessitant des conditions magnétiquement calmes
 - ❖ Surveillance de l'état de l'ionosphère (fourniture de paramètres en entrée des modèles ionosphériques, détection de perturbations) pour définir les zones perturbées de l'ionosphère pouvant donner lieu à des erreurs de localisation des systèmes GNSS, des pertes de signaux radio ou GNSS.

NanoMagSat phase 0 study

1) Exploration phase

- ❖ Science needs expression → Magnetosphere & Ionosphere science cases
 - Prioritized science goals + societal issues
 - Observational requirements : measurements + specifications
 - Payload elements : ASM, HF vector Mag, Langmuir probe, TEC GPS, ...
- ❖ System and satellite concepts :
 - Orbits
 - Gravity gradient vs 3-axis stabilized
 - 6-12-27U CubeSat form factor



2) Predesign phase

- Payload composition and configuration
- Deployable boom concept
- Energy design and electrical architecture
- ADCS concept and
- Mechanical design and layout
- Thermal analysis
- Launch scenarios
- Feedback on science needs
- Cost assessment

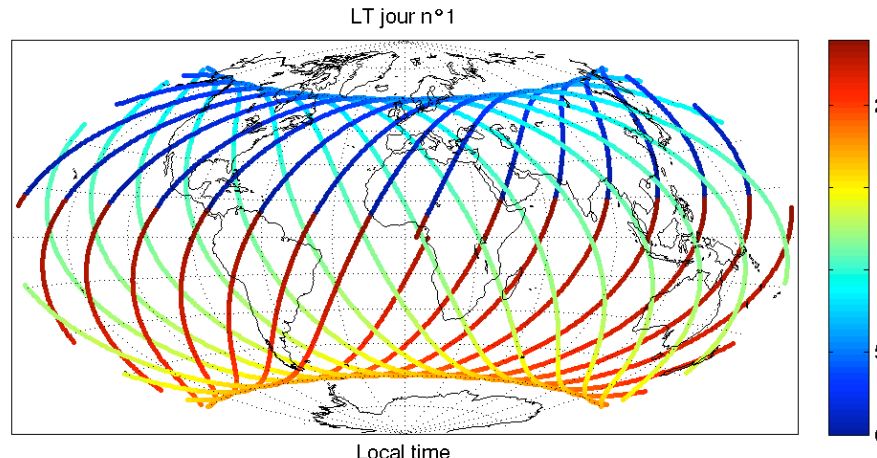
Phase 0 study : Scenarios

Mission-oriented scenarios

- ❖ « SWARM Delta » : a complement to SWARM polar constellation
 - 60°-inclined orbit for a better local hours excursion
 - Polar orbit : more launch opportunities
- ❖ « Pioneer for a space magnetic field observatory » :
 - a polar constellation of nanosatellites as a complement to ground observatories network (InterMagnet)

System-oriented scenarios :

- ❖ Gravity gradient- or 3-axes stabilized^(*) spacecraft
- ❖ 12U or 6U
- ❖ ISS launch option → shorter mission duration (few months)



(*) rejected

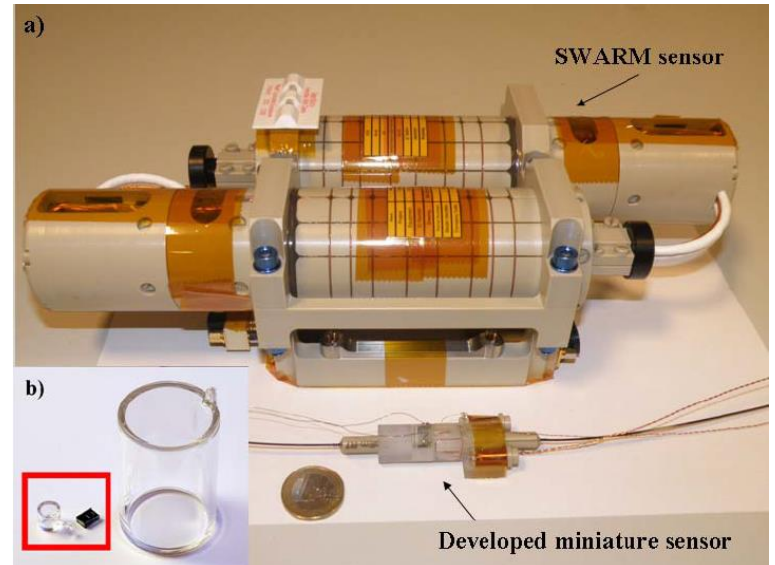
Payload Configurations

12U Scenario

- ❖ Miniaturized ASM : 250 Hz scalar mode, 1 Hz vector mode
- ❖ Star tracker for precise attitude determination (5 arcsec)
- ❖ High frequency vector magnetometer : TMR^(*)
- ❖ TEC GPS

6U Scenario

- ❖ Miniaturized ASM
- ❖ Low-cost star trackers



^(*) Tunnel Magneto Resistance

Deployable Boom : MA2C concept

Attractive features

- ❖ Passive
- ❖ High compactness (x20)
- ❖ Light : carbon, epoxy, Kevlar
- ❖ Harness protection

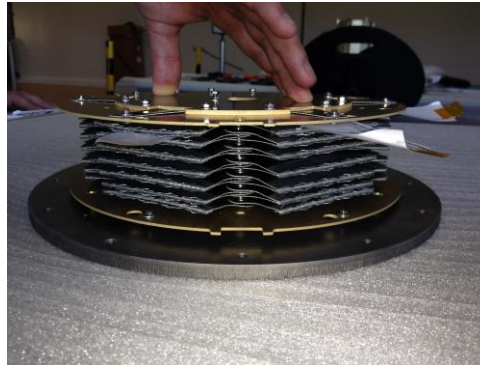
Multi-purpose

- ❖ Pull ASM away from S/C disturbances
- ❖ Gravity gradient stabilization

CNES patent

- ❖ Latécoère + CLIX + CRITT development

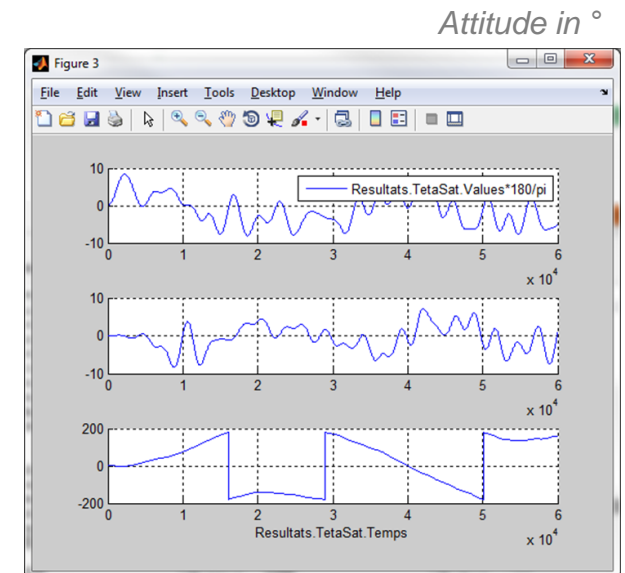
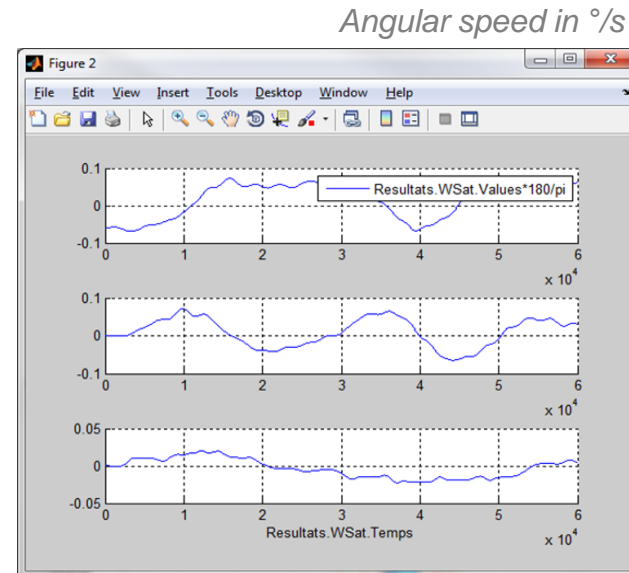
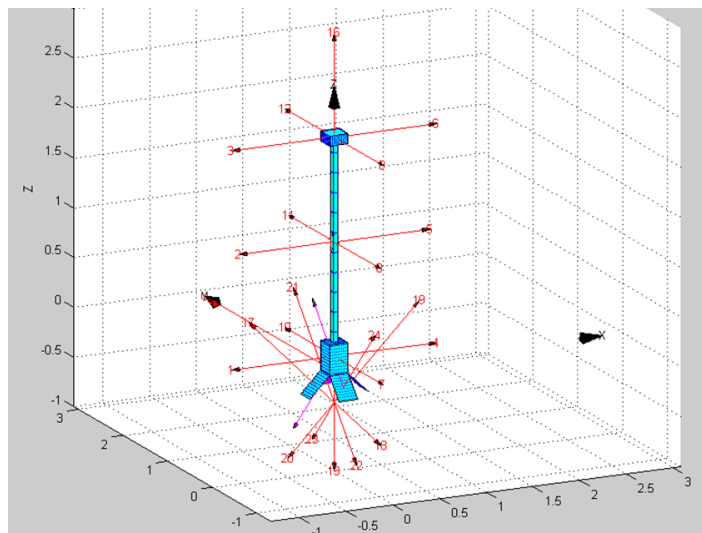
R&D needed to reach higher TRL



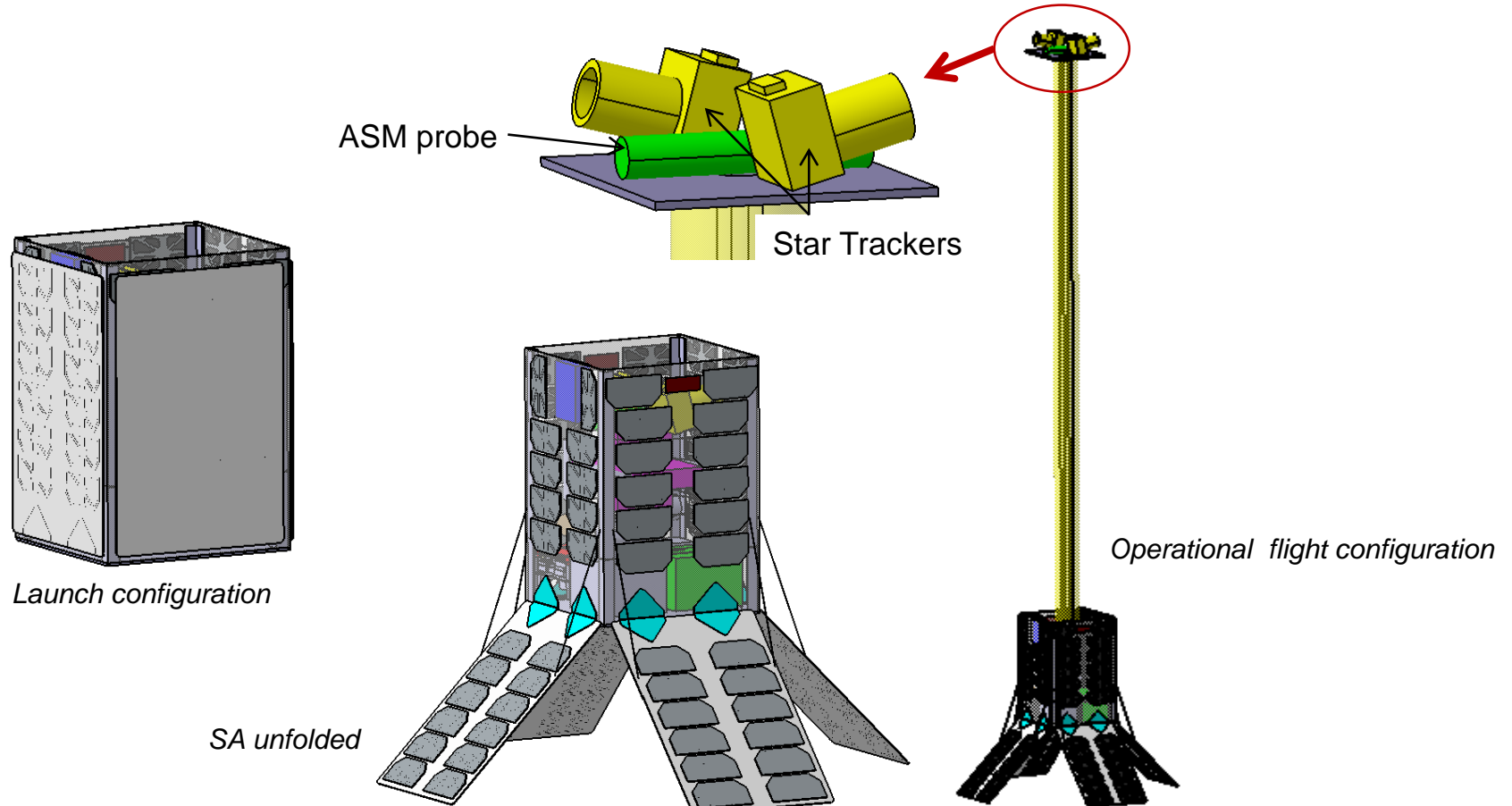
ADCS study

Nominal mode only

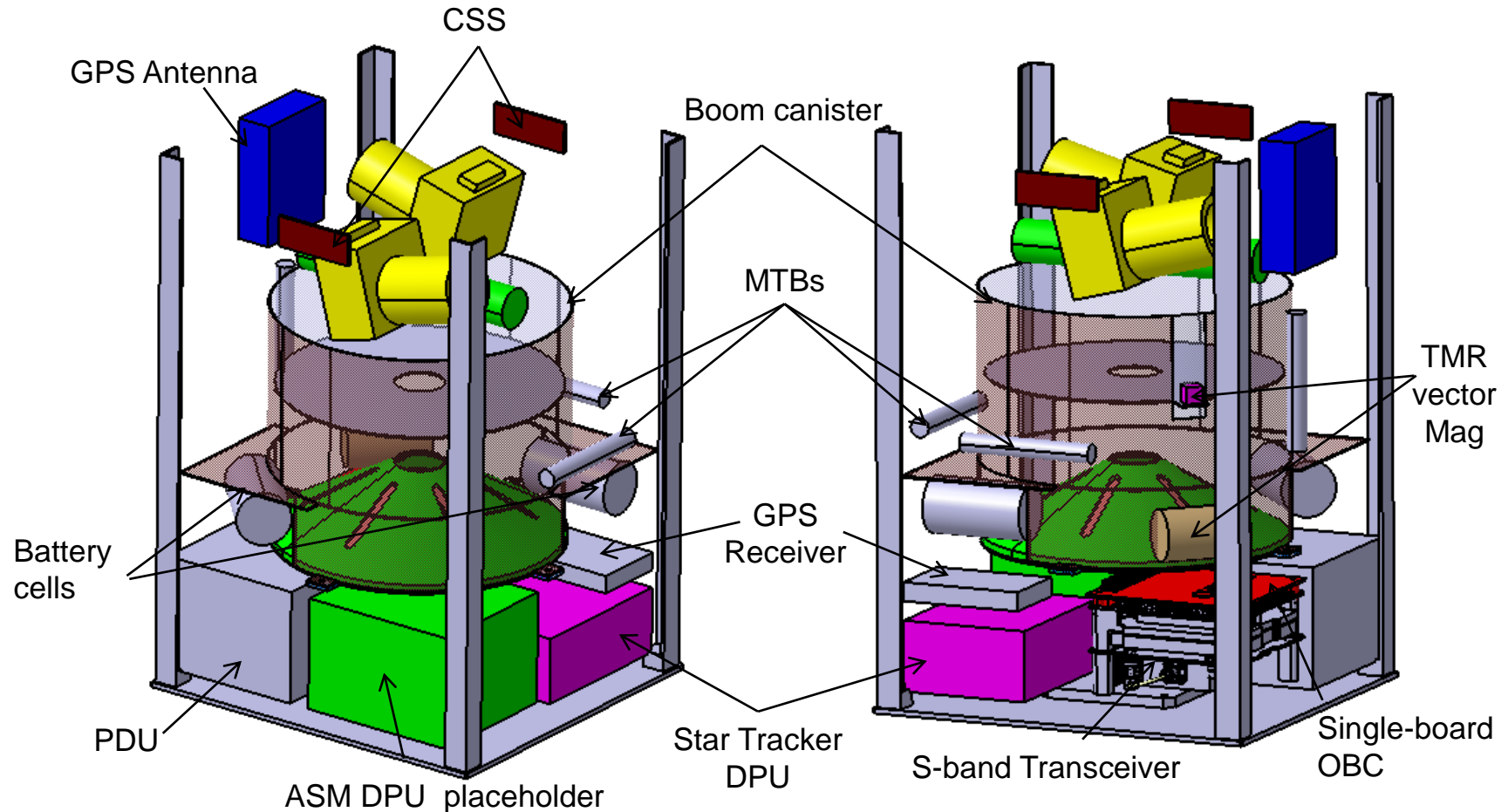
- ❖ Gravity gradient stabilization
- ❖ Initial detumbling with magnetotorquers



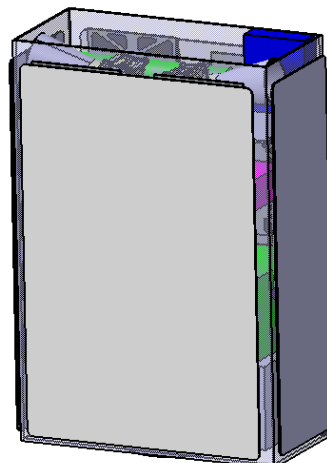
12U S/C Configuration (1/2)



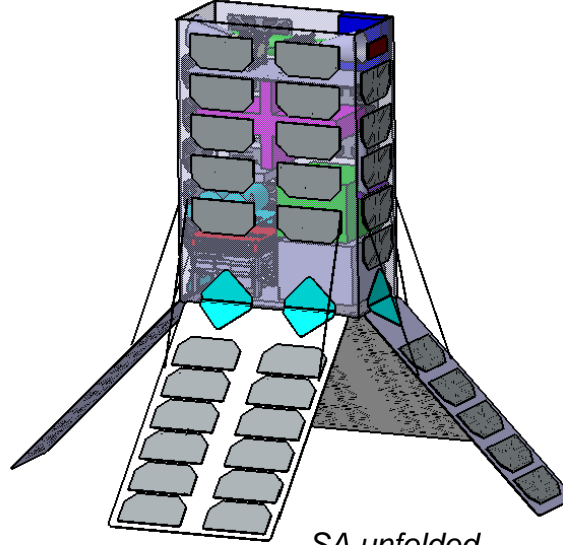
12U S/C Configuration (2/2)



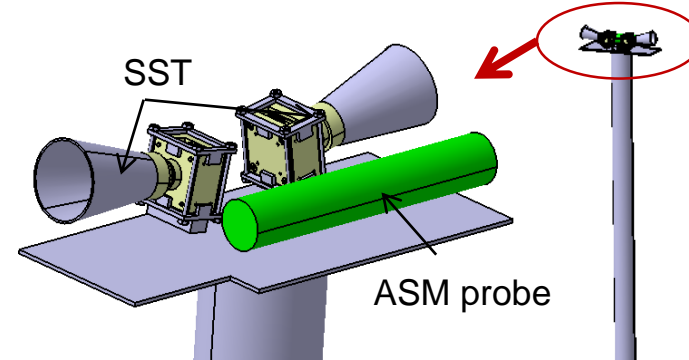
6U S/C Configuration



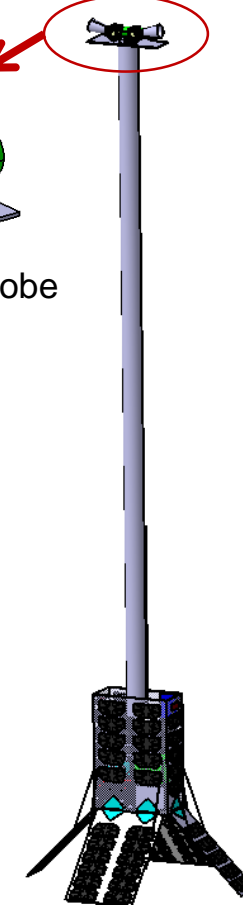
Launch configuration



SA unfolded



ASM probe



Operational flight configuration

Design studies conclusions

12U scenario:

- ❖ No criticity on mass
 - ❖ Work to be done on
 - Power
 - Volume
 - ❖ 60°-orbit : rare launch opportunities
 - Polar backup scenario

6U scenario:

- ❖ Reduced science objectives
 - ❖ Star tracker accuracy to be assessed
 - ❖ Need of active attitude control
 - too low mass/inertia for gravity gradient concept to be instability prone

Preferred scenario : 12U

Study conclusions & follow-on actions

Phase 0 study successful

- ❖ Concept likely feasible
- ❖ Most S/C equipment are off-the-shelf

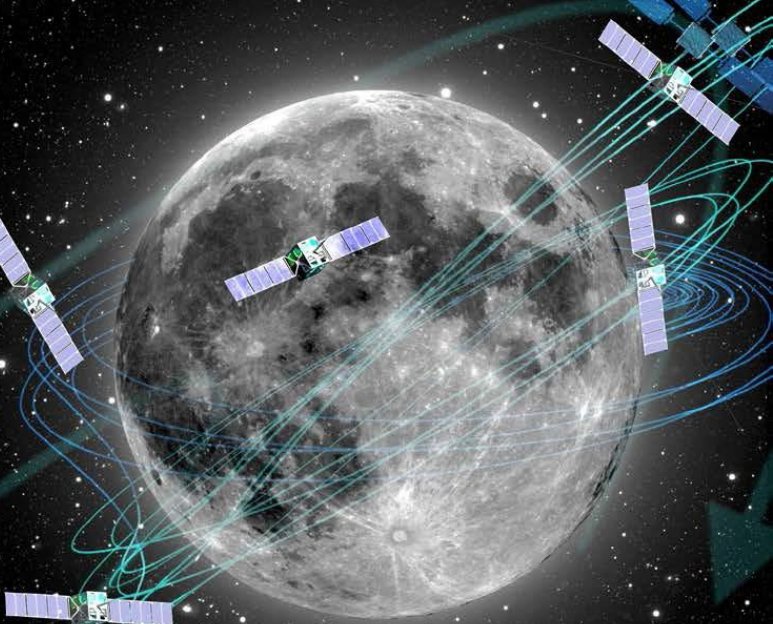
Work to be done to reach higher TRLs

- ❖ Instruments : ASM, vector mag
- ❖ Deployable boom + harness unwinding device
- ❖ EMC cleanliness to be assessed

➔ Set up of a mission + technology maturation plan

NOIRE

**Nanosatellites pour un
Observatoire
Interférométrique
Radio dans
l'Espace**



Baptiste CECCONI – CNRS / LESIA
André LAURENS – CNES / PASO

NOIRE project context – short instrumentation history

Radio instrumentation

- ❖ Radioastronomy is a young science.
- ❖ « Low frequency » spectral range is < 100 MHz

Date	Milestone	Frequency(MHz)	Observatory Ground	Space	Antenna Single	Antenna Array
1932	First observation of Galactic radio emission [1]	20.5	×		×	
1946	First interferometric radio astronomy measurement [9], [10]	200	×		×	
1955	Detection of Jovian radio emissions [11]	22.2	×		×	
1972	First light of UTR-2 (Kharkov, Ukraine) [12]	8 – 40	×			×
1973	First map of Galactic background emission (RAE-B) [13]	< 13.1		×	×	
1977	First light of NDA (Nançay Decameter Array, France) [14]	8 – 80	×			×
1997	Launch of the Cassini mission (NASA) [15]	< 16		×	×	
2007	Launch of the STEREO mission (NASA) [16]	< 14		×	×	
2012	LOFAR radio telescope in Europe [17]	10 – 240	×			×
2013	Long Wavelength Array 1 (LWA) [18]	10 – 88	×			×

Table 1. Ground and space low frequency radio astronomy milestone

NOIRE project context – ground-based interferometry

Rising LF radio interferometers

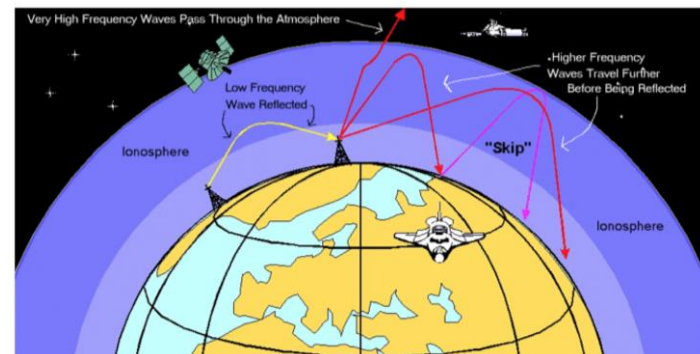
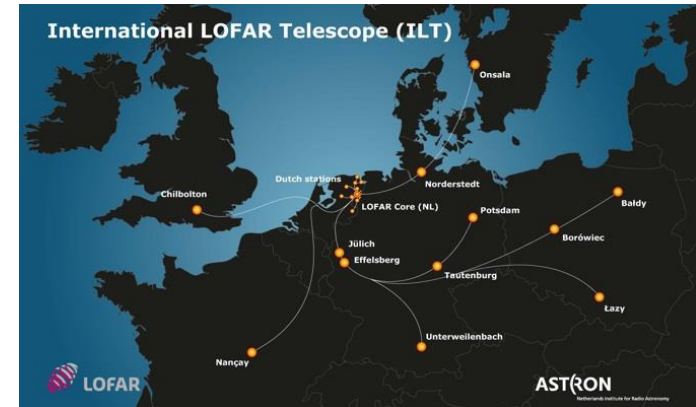
- ❖ LOFAR, LWA, MWA (soon NenuFAR, and then SKA):
 - Many discoveries
 - New instrumental challenges (storage, data throughput, noise sources...)
 - New inversion methods (Kalman filters, Compressed Sensing...)

Limitation of ground-based instruments

- ❖ Earth's Ionosphere
 - Low frequency cut off at ~10MHz
 - Large scale perturbation up to several 10 MHz
- ❖ Radio frequency interferences (RFI): human activity

Rising of a new platform: nanosatellites

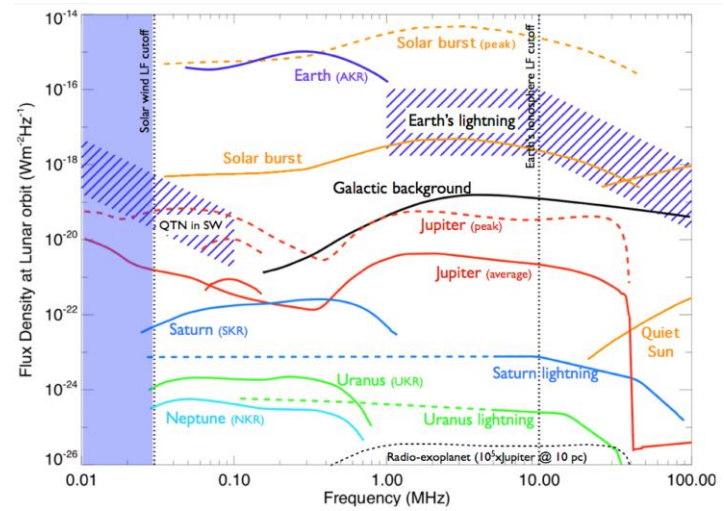
- ❖ New opportunities and new challenges
- ❖ Examples of cubesats that lead to science publications: **CSSWE** (Univ. Colorado), **RAX** (Univ. Michigan)
- ❖ Many possible applications of distributed measurement: **Space Weather** and **Radioastronomy**



NOIRE project context – the nanosat opportunity

Opening a new window on the Universe

- ❖ Frequency range < 30 MHz not fully accessible from ground
- ❖ Multiple science topics
 - Cosmology
 - Interstellar matter and cold universe
 - High energy astrophysics
 - Solar system: planetary magnetospheres
 - Solar physics



Nanosat platform: rethink the way space platform are designed

- ❖ Scattered or distributed instrumental concepts based on interferometry
- ❖ Nanosatellites for multi-point or multi-mode scientific sending
- ❖ Several such projects are being studied in the world

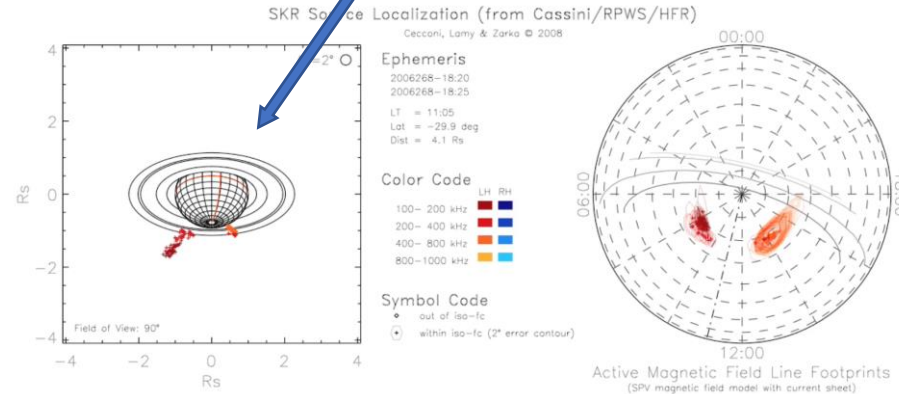
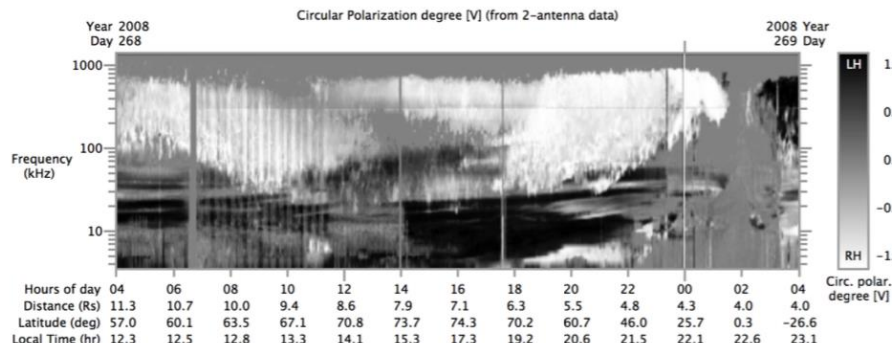
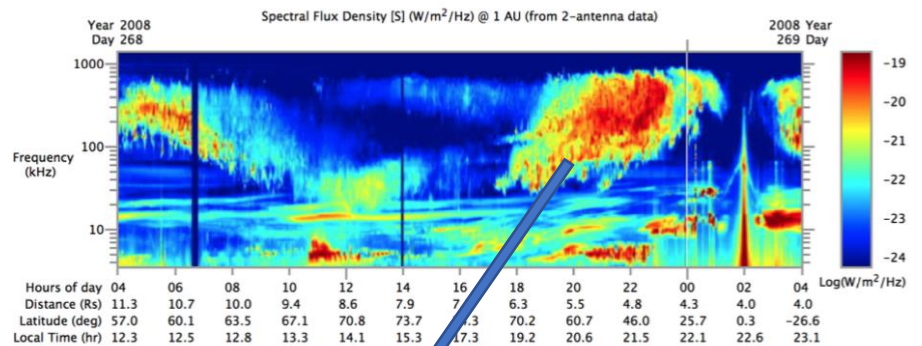
LF radio interferometer space projects

Name	Frequency range	baseline	nb of S/C	Location	Team / Country
SIRA	30 kHz – 15 MHz	>10 km	12 – 16	Sun-Earth L1 halo	NASA/GSFC [2004]
SOLARA/ SARA	100 kHz – 10 MHz	<10,000 km	20	Earth-Moon L1	NASA/JPL - MIT [2012]
OLFAR	30 kHz – 30 MHz	~100 km	50	Lunar orbit or Sun-Earth L4-L5	ASTRON/Delft (NL) [2009]
DARIS	1 MHz – 10 MHz	< 100 km	9	Dynamic Solar Orbit	ASTRON/Nijmegen (NL)
DEX	100 kHz – 80 MHz	~1 km	10^5	Sun-Earth L2	ESA-L2/L3 call
SURO	100 kHz – 30 MHz	~30 km	8	Sun-Earth L2	ESA M3 call
SULFRO	1 MHz – 100 MHz	< 30 km	12	Sun-Earth L2	NL-FR-Shanghai [2012]
DSL	100 KHz – 50 MHz	<100 km	8	Lunar Orbit (linear array)	ESA-S2 [2015]
DEX2	100 kHz – 80 MHz	100 km	10 – 100	Lunar Array	ESA-M5 [2016]
SunRISE	100 kHz – 25 MHz	12 km	6	GEO	NASA Concept study
CURIE	1 MHz – 19 MHz	1.5 km	2	LEO	NASA LCAS/ SSL Berkeley

Space LF radio instrumentation – Cassini/RPWS/HFR

Example of Cassini/RPWS/HFR results:

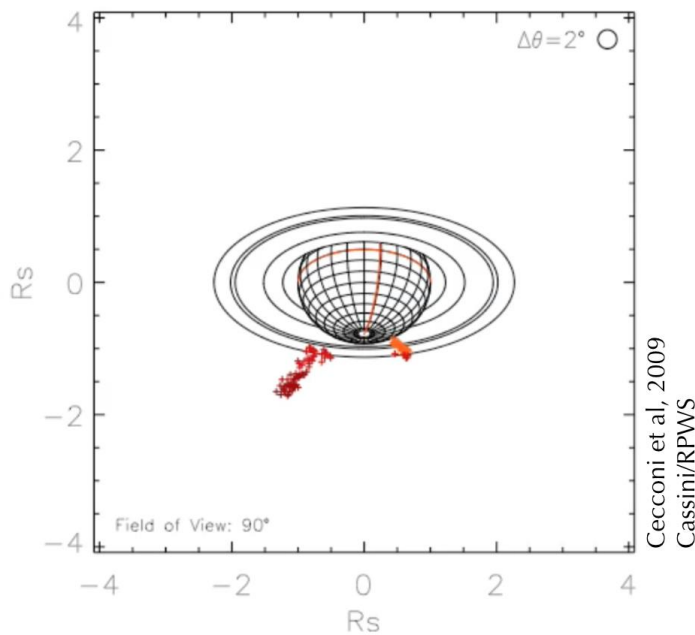
- ❖ Flux and polarization of Saturn kilometric radio emissions
- ❖ 3D location of radio sources



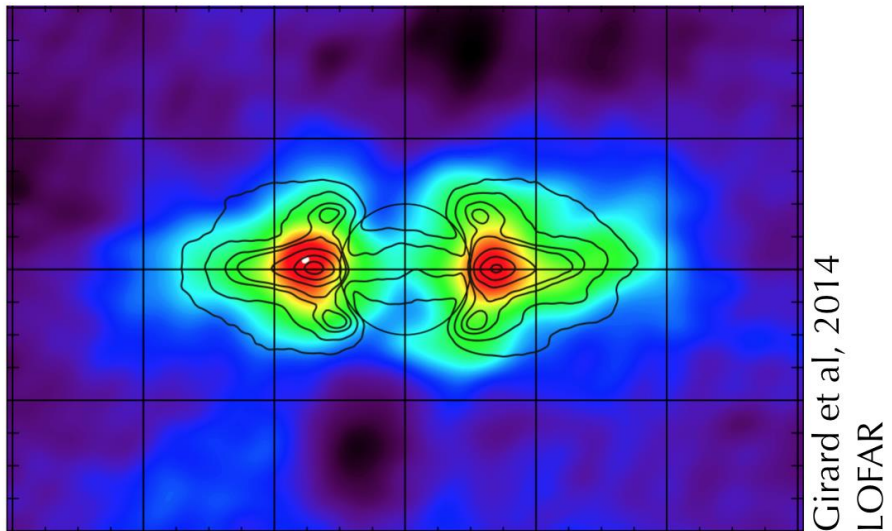
Space LF radio interferometry – Why ?

Example 1: Planetary radio sources

❖ Now



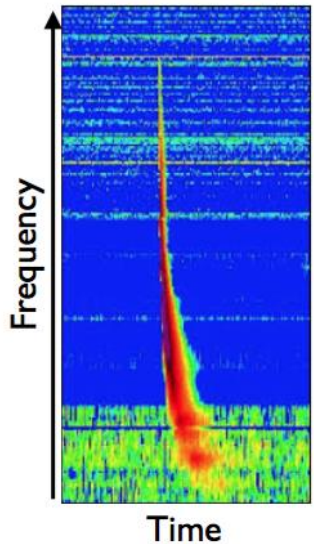
❖ Tomorrow



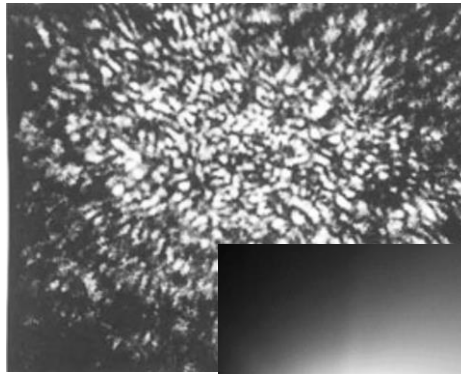
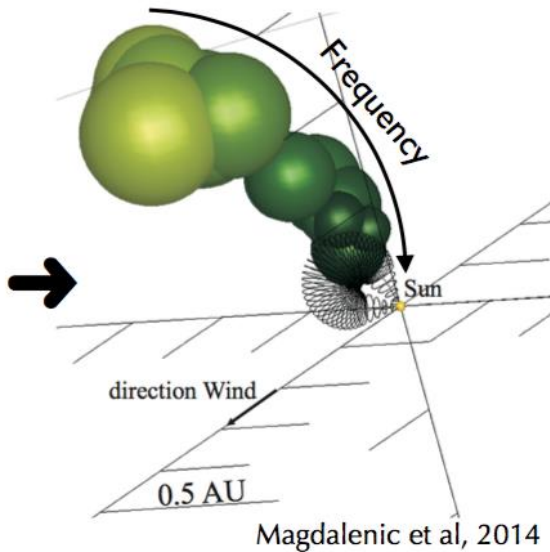
Space LF radio interferometry – Why ?

Example 2: Solar radio sources

❖ Now



❖ Tomorrow

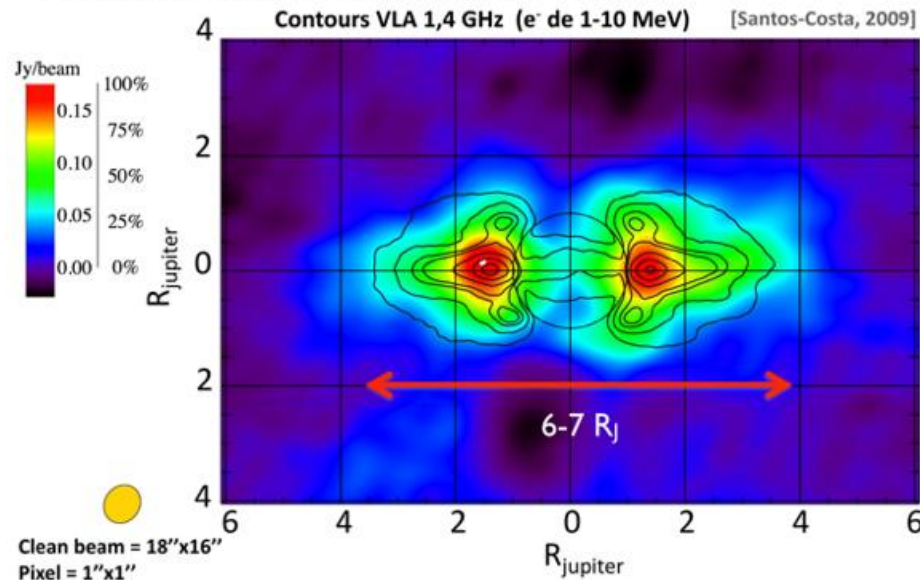


Space LF radio interferometry – Why ?

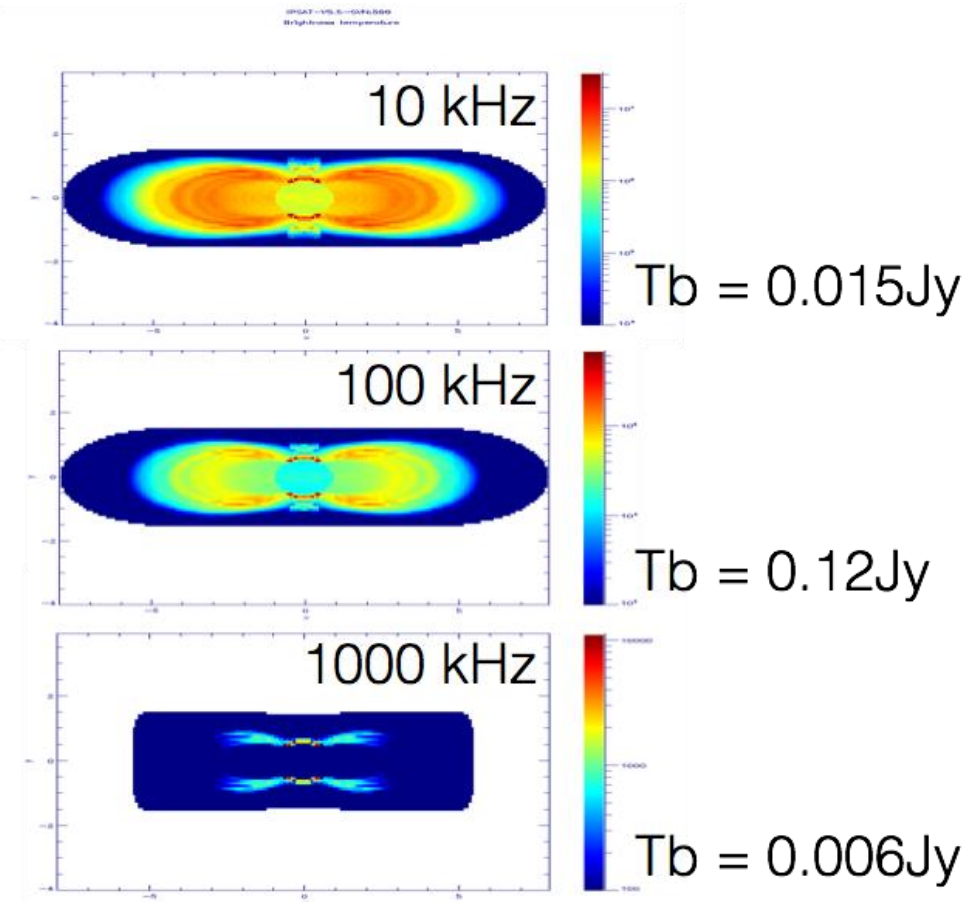
Jupiter
(now)

Resolved intensity maps

- Integration over 127-172 MHz, $\Delta t =$ (best) 7h, $(u,v) = 0-15 \text{ k}\lambda$



Earth
(tomorrow)



NOIRE Instrument Concept

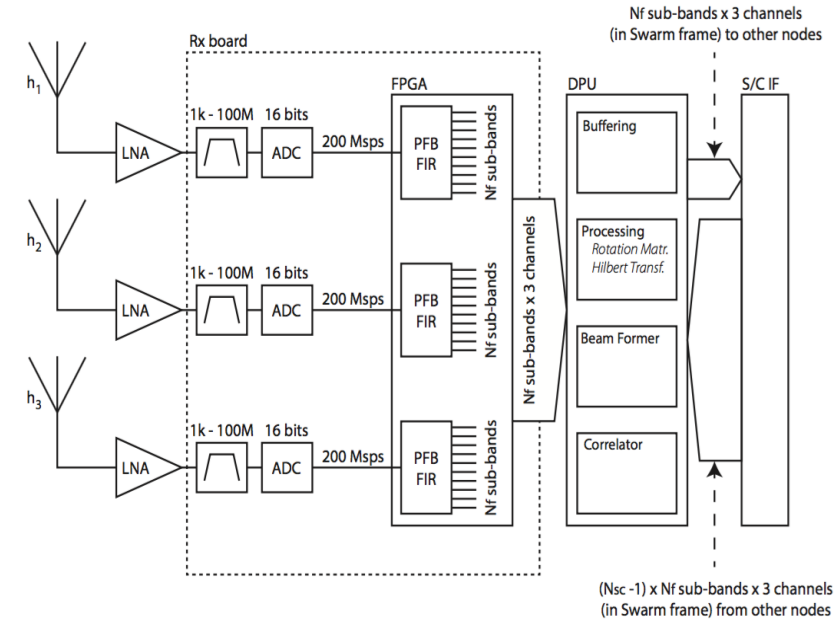
Swarm of triaxial LF radio sensors.

- ❖ Each node (spacecraft) sensors = 3 electric dipoles + 3 radio receivers (1 kHz – 100 MHz).
On each node, the radio frequency waveform is sampled on each axis
- ❖ Each pair of nodes = 1 baseline.

Aperture synthesis (beam-forming)

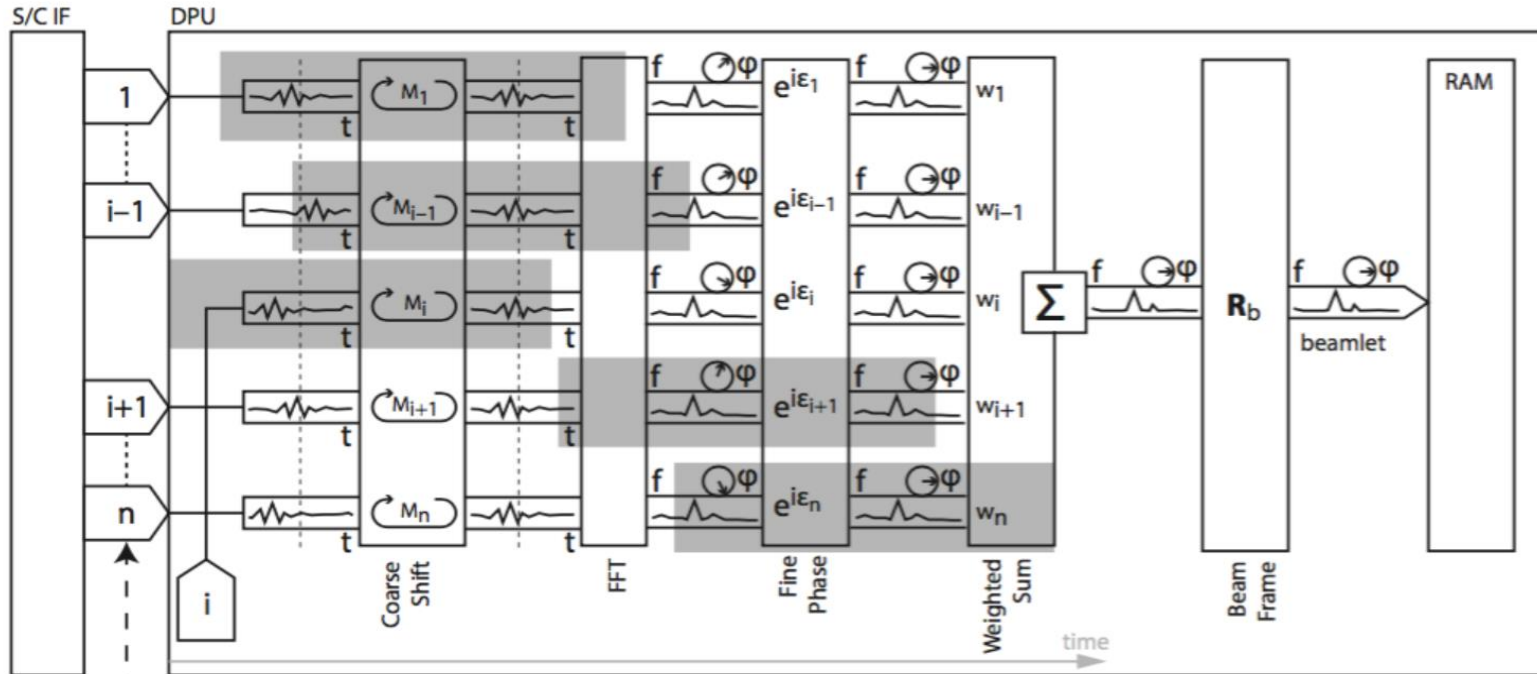
- ❖ Coherent sum of waveform with phasing and weighting.
- ❖ Requires: knowledge of node relative locations (~fraction of wavelength), node clock shifts, node attitude
- ❖ For each node, a delay (phase shift) and a weight is applied.
They are computed to get the desired beam shape

$$\vec{V}_b^\nu = \sum_i \vec{V}_i^\nu w_{jb} e^{ik_\nu \vec{r}_i \cdot \vec{R}_b}$$



NOIRE Instrument Concept – Waveforms to Beamlet

On each computing node, one or several Beamlet pipelines:



($N_{sc} - 1$) for 1 sub-band vector waveform
 (3 streams of real values per node per sub-band)

NOIRE Concept : the Instrument is the Space System

Homogeneous swarm

- ❖ All nanosats identical, same functions : Acquisition, Processing, Communication between satellites / with Earth, even if not active all the time
- ❖ Advantages : interchangeability / robustness, serial production

« Low control »

- ❖ Dealing with swarm's natural evolution, no active formation flying, no need to control swarm's shape neither collective/individual movement
- 👉 **But knowledge mandatory for interferometry !**
- ❖ Due to swarm deployment from carrier : active station acquisition is necessary ; station keeping may be relaxed (TBC for long-term evolution)

Relative Navigation, Autonomous local time, GNC

- ❖ GNSS-like relative navigation concept → two-by-two baseline measurement for interferometry
- ❖ Clock sync for interferometry, but also for RELNAV (clock bias knowledge)
- ❖ « Absolute navigation » concept : two-by-two distances not sufficient for swarm's shape and direction determination

NOIRE Concept : the Instrument is the Space System

Distributed on-board processing

- ❖ Achieving interferometry processing (at least partially) on-board : a way to reduce dramatically data rate to Earth
- ❖ Taking advantage of total processing power available in the swarm (COTS CPU = some 100 x traditional space computer) + network architecture
- ❖ Inspired by ground distributed computing architectures

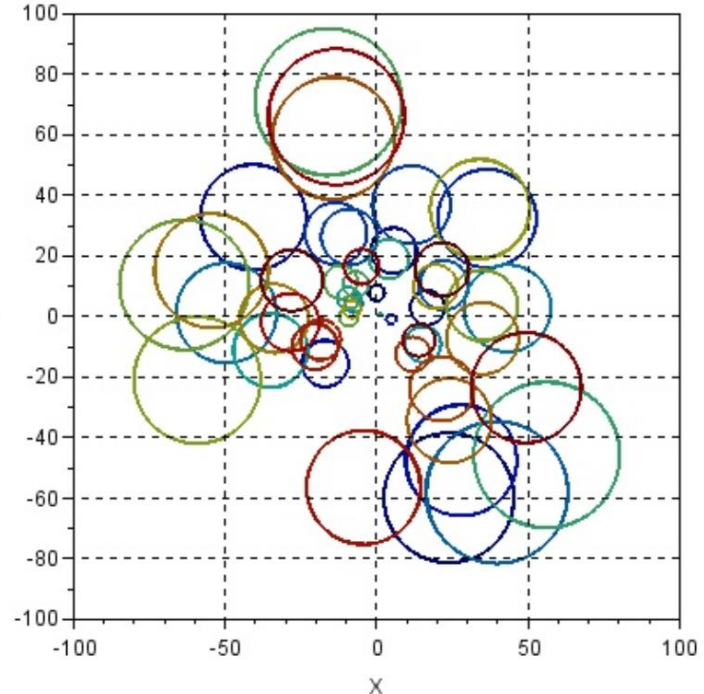
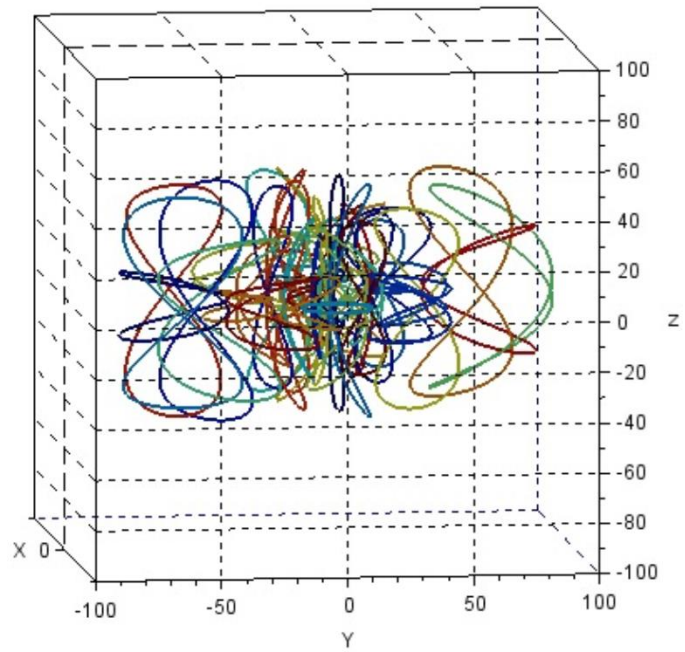
Networking at swarm scale

- ❖ Physical connectivity limited to nearest neighbours, not necessarily permanent but at any time
- ❖ Logical connectivity from all to all : routing, network protocols and services
- ❖ Supporting all communication needs :
 - Phase shift distribution for beamlet forming, time transfert for clock sync, pre/post processing data exchange, ...
 - Same physical link as RELNAV

NOIRE Instrument Concept – Orbitography

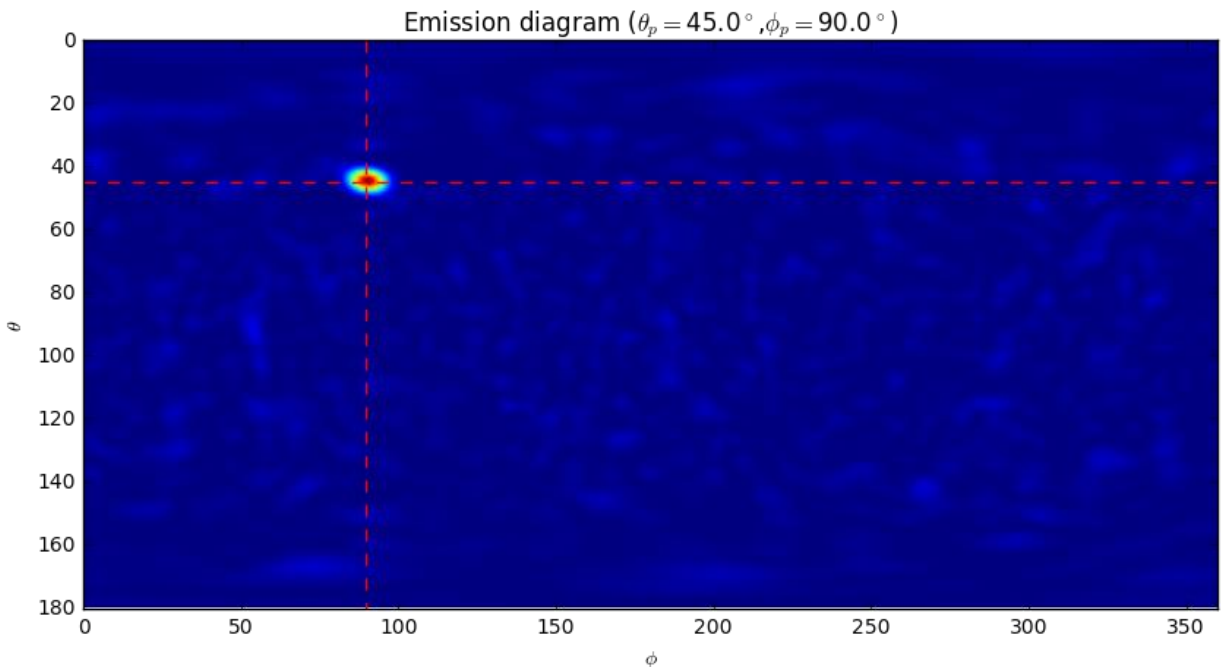
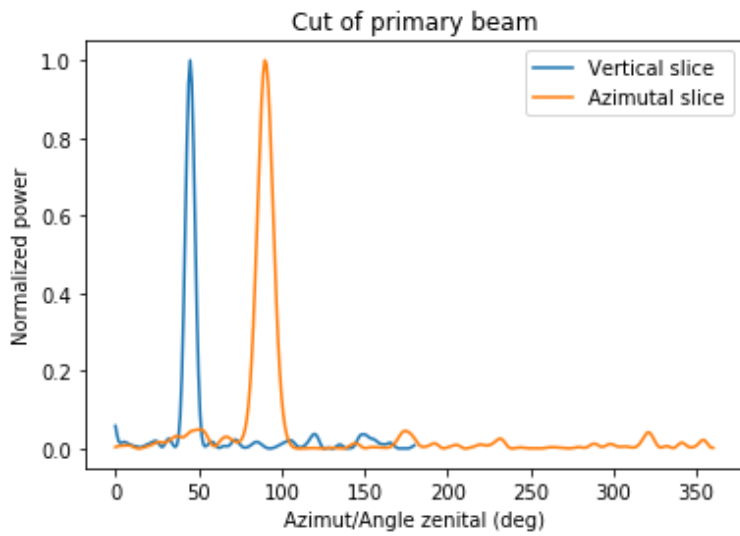
Circular Lunar equatorial orbit case has been studied:

- a swarm of 50 s/c with relative distances < 150km
- used for modeling ranging and clock synchronization capabilities, as well as beam forming tests

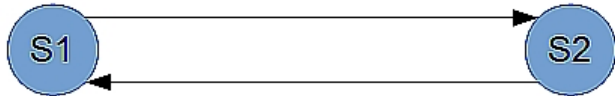


NOIRE Instrument Concept – Beam Forming

Beam Forming test (50 nodes, 150 km max distance)



NOIRE Instrument Concept – Ranging & Clock Synchronization

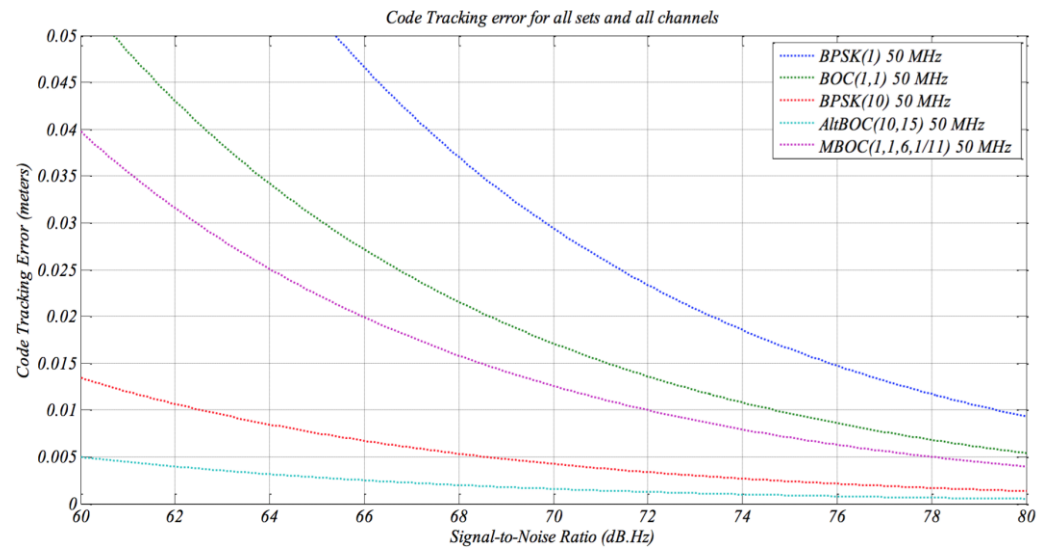


$$PD21 = D + \Delta T_{21} + TPG1$$

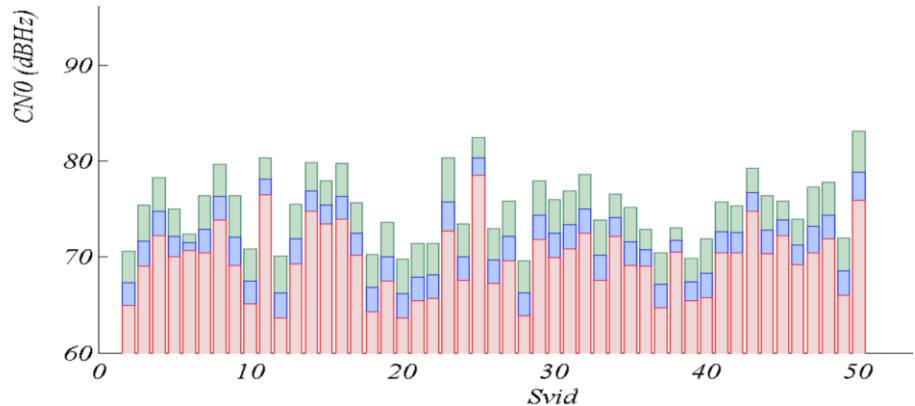
$$PD12 = D + \Delta T_{12} + TPG2$$

$$PD21 - PD12 = \Delta T_{21} - \Delta T_{12} + (TPG1 - TPG2)$$

$$PD21 + PD12 = 2D$$



$SNR > 60 \text{ dB.Hz} (<45 \text{ dB.Hz in Earth GNSS case})$

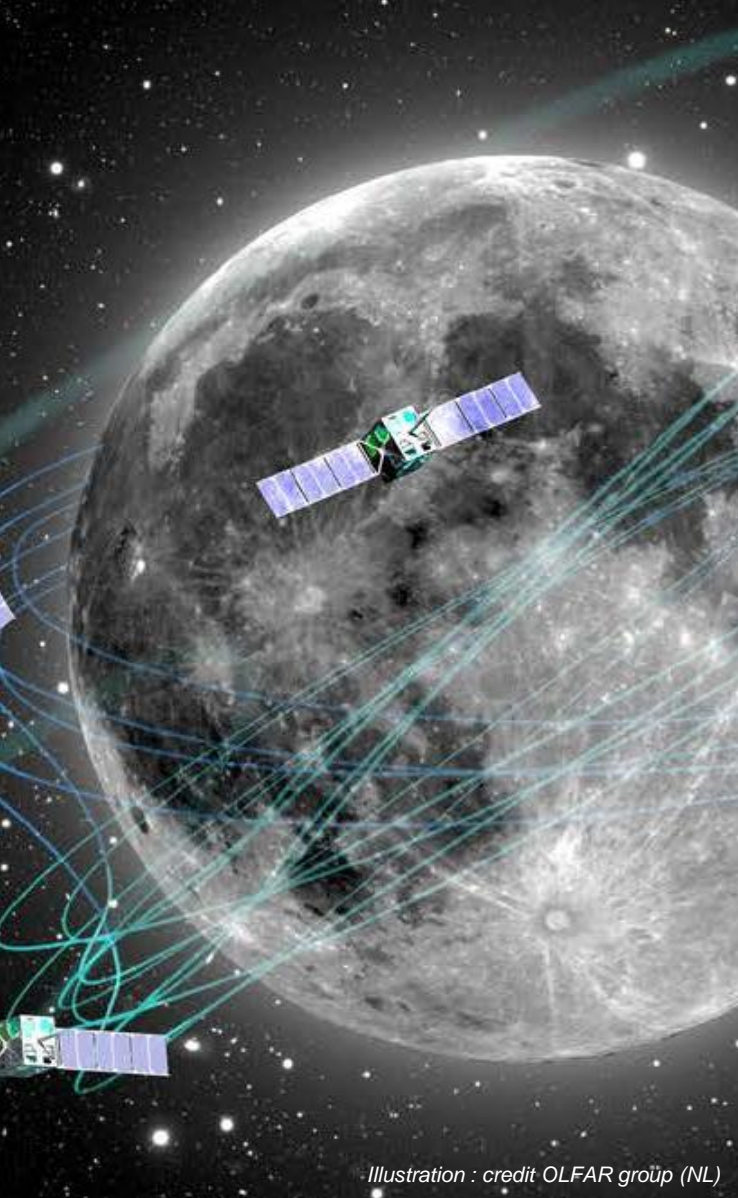


Favorable case for autonomous GNSS.

- Theoretical ranging accuracy ~1cm: ok
- Further studies needed

Relative distance \neq 3D geometry

- Not possible to get absolute attitude of swarm
- Basic imaging mode: « radio » star sensors ?



What we should do to go forward...

Detailed analysis of system and instrument:

- ❖ Dimensioning performance and detailed requirement at system level (number of nodes, swarm shape, location, attitude and timing knowledge...)
 - ❖ Specify the various on-board processing and their duty-cycle (data rate, processing power, communication, flight software...)
 - ❖ System and instrument are intricated:
 - instrument performance => system design;
 - technical solutions and limitations => impact of measurement quality.
- Proposed PhD, but not funded yet.

On-going studies on mission & design concepts:

- ❖ Relative ranging and time keeping: refine GNSS-like concepts
- ❖ Orbits: deployment, station keeping, propulsion requirements,
- ❖ GNC: continue the work, evaluate performances with orbital restitution
- ❖ Network architecture: assess neighborhood discovery and access methods
- ❖ Avionics and flight software: draft architecture
- ❖ EMC: study started, COTS evaluation needed
- ❖ Propulsion: listing of solutions wrt needs
- ❖ Instrumental R&D studies on-going

*Coordinated
maturation plan,
dedicated to
swarm-related
techniques*

Science Objective Consolidation and International collaboration:

- ❖ French community: submit NOIRE science cases to next CNES' Science Prospective Seminar (2019)
- ❖ Collaborations: work with more (international) teams
 - International links: OLFAR, NCLE (NL), SunRISE, CURIE (USA), but also Sweden (Upssala and Onsala; radio interferometry theory), Switzerland (EPFL; swarm theory)

Nanosatellites au CNES : perspectives pour 2019

PASO : appel à idées des phases 0

- ❖ ~25% des propositions à base de nanosatellites
 - Instrumentation fractionnée, mesure multipoints
 - Passagers / compléments de « grandes » mission
 - Démonstrateurs

Séminaire de Prospective Scientifique

- ❖ Un groupe de travail dédié
- ❖ ~15% des propositions en lien avec des nanosats



Merci pour votre attention !

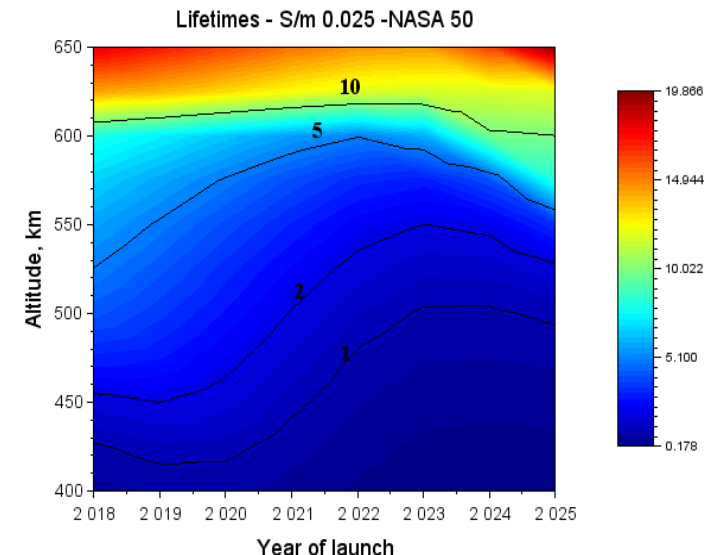
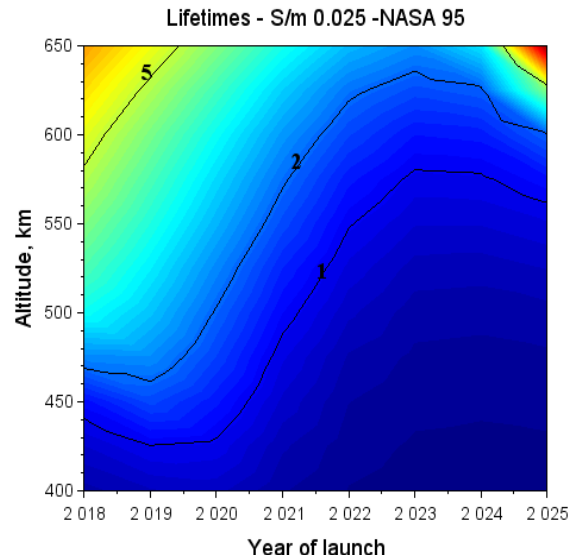
Backup slides

NanoMagSat

Orbits & mission analysis (1/3)

Lifetime in orbit

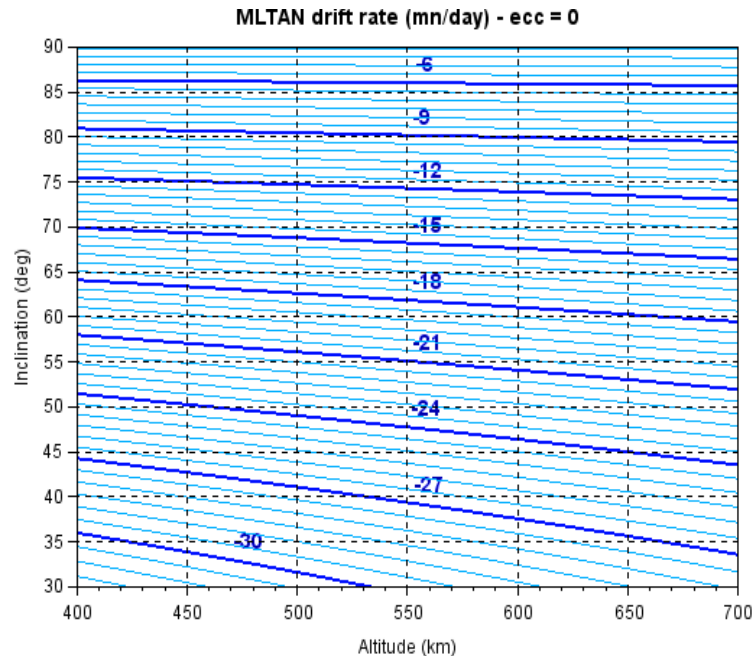
- ❖ Estimated S/m = 0,025 (average LEO satellite S/m = 0,01)
- ❖ No noticeable impact of orbit inclination



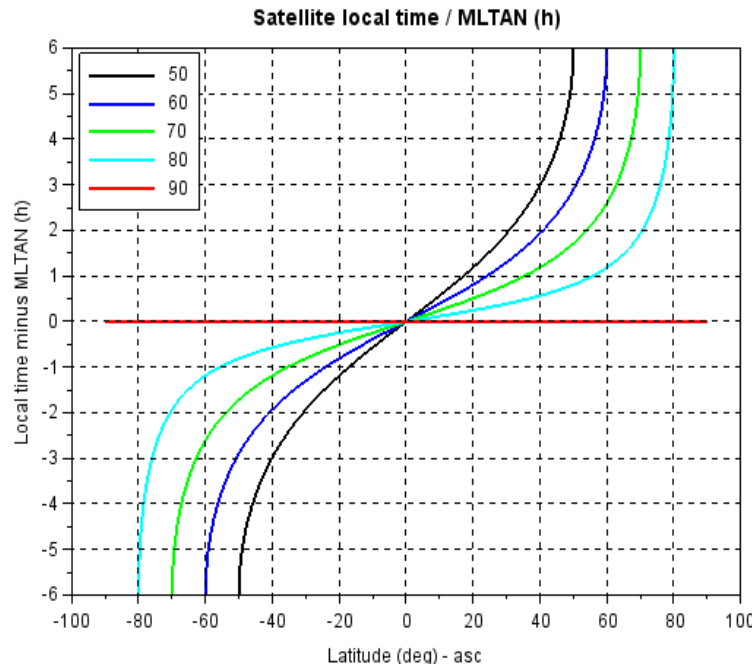
Orbits & mission analysis (2/3)

Local time drift

- ❖ LTAN Drift due to J2 effect



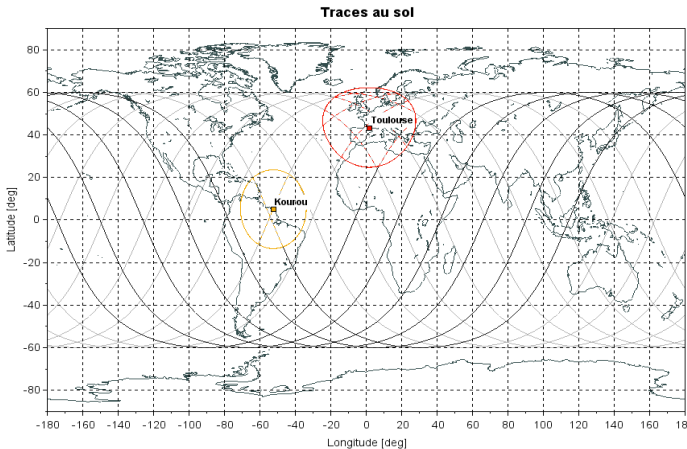
Local time drift along the orbit



Orbits & mission analysis (3/3)

Station visibility slots

- ❖ Typical values for Toulouse and Kourou
- ❖ 550 km, 5° minimum elevation, 6 months simulation



Visibility passes:

Station: Toulouse

Duration: min/max/moy (mn): 1.045 /
10.307 / 7.879

Average frequency (#/day): 7.056

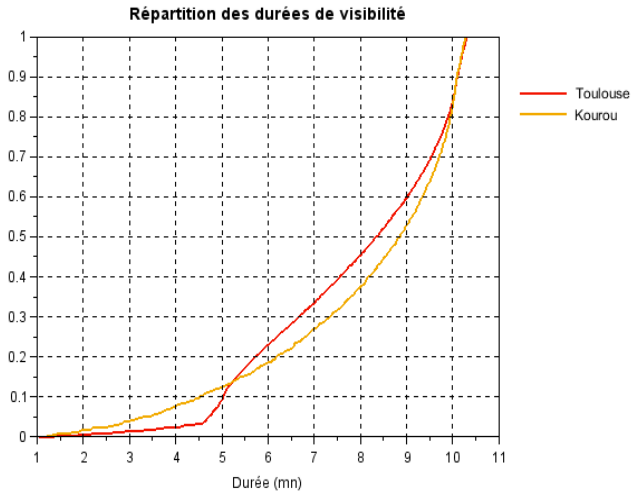
Total average duration (mn/day): 55.593

Station: Kourou

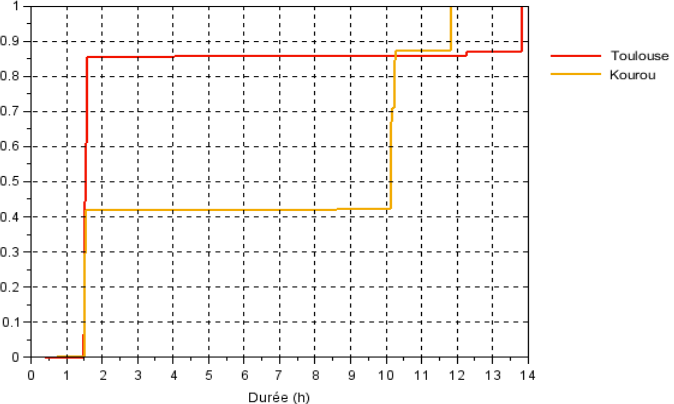
Duration: min/max/moy (mn): 1.214 /
10.276 / 8.038

Average frequency (#/day): 3.483

Total average duration (mn/day): 27.998



Répartition des durées des trous de visibilité



Multi-harness unwinding system

Features

- ❖ Up to 7 cables or optical fibers
- ❖ Entirely passive
- ❖ High compactness
- ❖ Light
- ❖ Low risk of cables entangling
- ❖ Low cost

CNES design

TRL 2-3



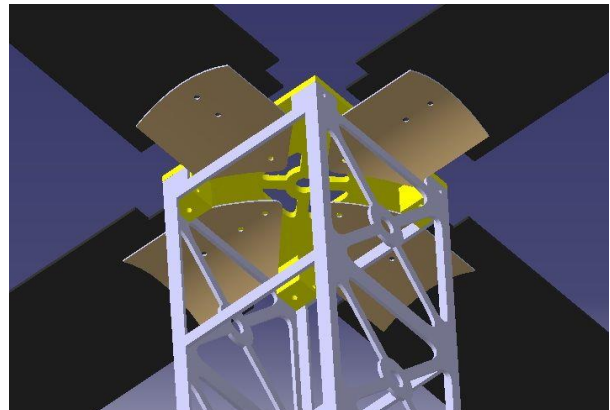
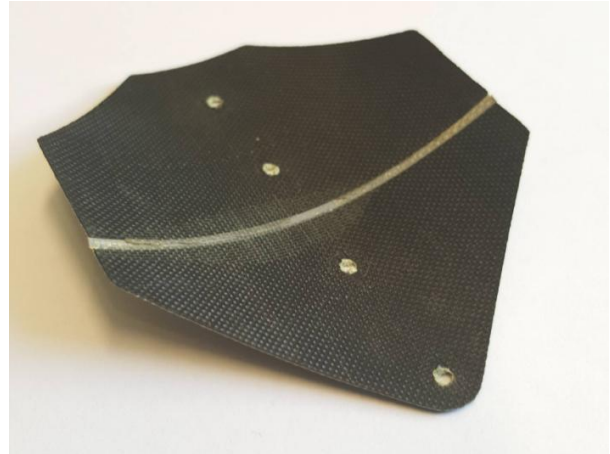
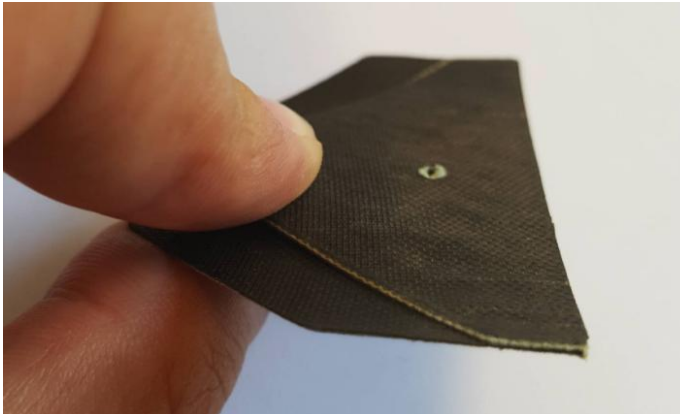
Composite hinge for solar arrays

CNES design

- ❖ Development : CLIX Industries through CNES R&D contract
- ❖ Analogue to the boom's building block
- ❖ TRL 6

Strength of this concept:

- ❖ High compactness (x20)
- ❖ Light : carbon, epoxy, Kevlar
- ❖ Passive : no motorization, no EMC



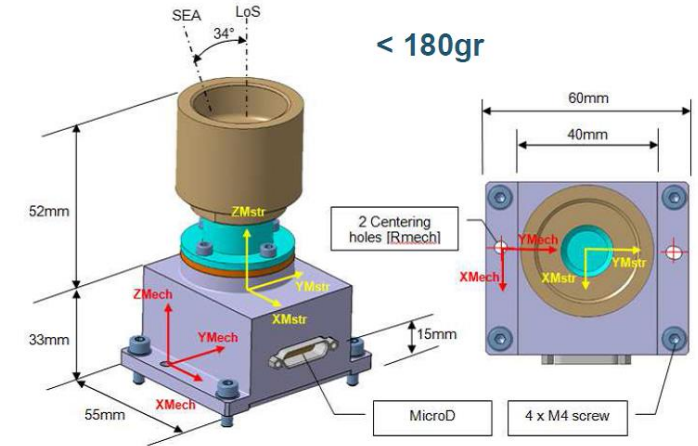
S/C Equipment

OBC

- ❖ “NINANO” CPU Board
- ❖ CNES design, EYE-SAT project legacy
- ❖ Very low cost (~15k€)
- ❖ High computing power (dual-core ARM)
- ❖ Latchup immune processor
- ❖ First radiation tests passed
- ❖ Low power consumption (<3W)



Star Tracker



S/C Equipment (cont'd)

S-band « nanoTMC »

- ❖ S-band transceiver
- ❖ Developed through CNES R&D program
- ❖ EYE-SAT, OPS-SAT & GOM-X projects legacy

For the Transmitter:

- Frequency band: 2200-2290 MHz
- RF Power from 27 to 33 dBm
- Data Rate: One fixed rate from 10 kbps to 3 Mbps
- Modulation: QPSK/OQPSK
- Convolutional Coding (7;1/2)
- Consumption (to be confirmed on EQM):
 - <9.0W for 2W RF output
 - <6.5W for 1W RF output
 - <5W for 0.5W RF output



For the Receiver:

- Frequency band: 2025-2110 MHz
- Modulation: PCM/SP-L/PM
- Data Rate: One fixed rate selectable between at least 8, 16, 32, 64, 128, 256 kbps. Data rates lower than 8 kbps remain to be validated.
- Doppler: +/-66kHz (@1.8 kHz/s)

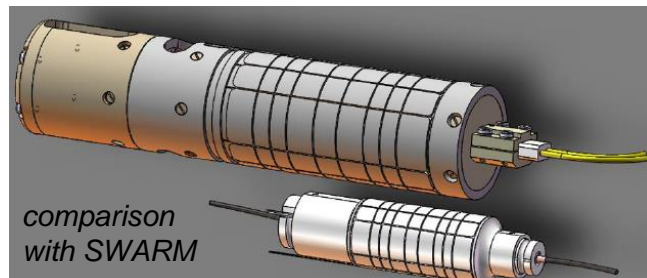
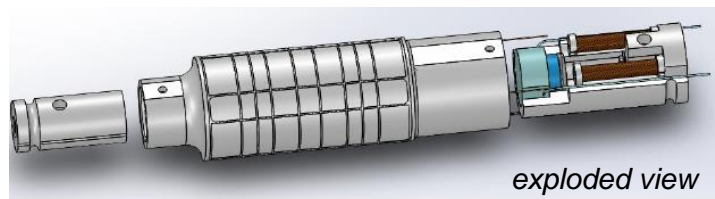
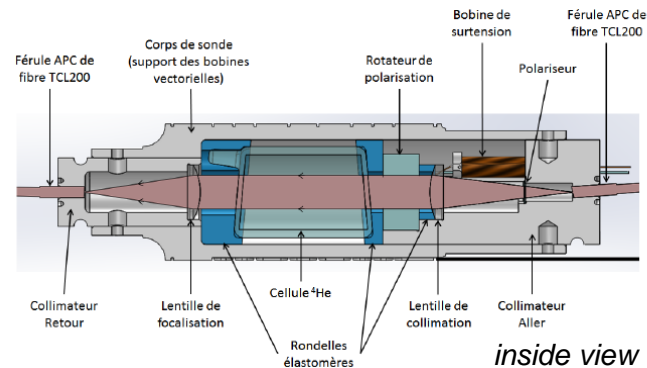
Instrumentation : miniature ASM

R&D history

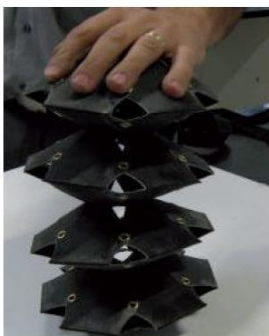
- ❖ 2014 : study of a liquid crystal polarization rotator
- ❖ 2016 : steering of the liquid crystal polarization rotator

2 recent R&D studies with CEA/LETI :

- ❖ 2017 : Novel optical chain for a miniaturized magnetometer
 - Laser fiber → laser diode : performance, compactness, reliability, power consumption
 - End-to-end magnetometry test : to be conducted
- ❖ 2018 : Prototyping a miniaturized helium vector magnetometer probe
 - Components integration, polarization rotator spatialization, optical-electrical harness definition, mechanical and thermal studies, magnetometry performance assessment
 - Phase 1 : Miniature probe definition (completed)
 - Phase 2 : Probe prototype realization (ongoing)
 - Phase 3 : Performance validation (to be conducted)



Boom-related actions



Ongoing activities in the Mechanisms and ADCS Equipment department:

- ❖ Consolidated design of the CLIX basic hinge for cold deployment – validation to be conducted by end 2018
- ❖ Boom development (CNES R&D program), to ensure a reliable deployment of the payload (MAG)
 - 2 meter composite boom based on composite hinges (from previous R&D with CLIX)
 - Stacking canister
 - Harness passive unwinding device
- ❖ Objectives:
 - PDR + boom mock-up
 - Engineering model
 - First mechanical characterization
- ❖ Status:
 - Call for tender in progress, with CLIX mandatory as partner for the composite boom part (1,5 years : 1 year PDR, 6 months EM)

EMC studies

To analyze the impact of satellite environment on the ASM

- ❖ Nanosat-specific context
 - Small size, COTS equipment and components
 - Synergy with ongoing nanosat projects
- ❖ Equipment EMC characterization
 - RW, STR, OBC, MTB & associated command electronics, S-band/X-band TTC, PCB & battery, solar array, satellite structure
- ❖ Magnetic moment computation
 - Based on NanoMagSat phase 0 configuration (12U) – ongoing
- ❖ Magnetic compatibility
 - STR to be tested on CEA/LETI facilities
- ❖ Recommendations for EMC-sensitive nanosat missions
 - Some preliminary practical measures available



Backup slides

NOIRE

NOIRE Study – Science and Technical Teams

Core Labs

- ❖ LESIA, Obs. Paris, France : **B. Cecconi**, P. Zarka, L. Lamy, M. Moncuquet, **C. Briand**, M. Maksimovic, R. Mohellebi, A. Zaslavsky, Y. Hello, B. Mosser, B. Segret.
- ❖ APC, Univ. Paris 7 Denis Diderot, France : M. Agnan, **M. Bucher**, Y. Giraud-Heraud, H. Halloin, S. Katsanevas, S. Loucatos, G. Patanchon, A. Petiteau, A. Tartari
- ❖ LUPM, Univ. Montpellier, France : D. Puy, E. Nuss, G. Vasileiadis
- ❖ CNES, Toulouse, France : **A. Laurens**, F. Barbiero, A. Basset, C. Boniface, P.-M. Brunet, M. Bruno, R. Camarero, C. Cénac-Morthé, M. Delpech, P. Gélard, J.-L. Issler, A. Lamy, C. Loisel, J.-J. Metge, D. Valat

Other Labs

- ❖ CEA/SAp/IRFU, Saclay, France : **J. Girard**;
- ❖ ONERA/Toulouse, France : A. Sicard-Piet;
- ❖ IRAP, Toulouse, France : M. Giard;

- ❖ GEPI, CNRS-Obs. de Paris, France: C. Tasse;
- ❖ LPC2E, CNRS-Univ. d'Orléans, France : J.-L. Pinçon, T. Dudok de Wit, J.-M. Griessmeier ;
- ❖ C2S/TelecomParis, France : P. Loumeau, H. Petit, T. Graba, P. Desgreys, Y. Gargouri

Space Campuses (University nanosat groups)

- ❖ Centre Spatial Universitaire de Montpellier-Nîmes, Université de Montpellier : L. Dusseau ;
- ❖ Fondation Van Allen, Institut d'Électronique du Sud, Université de Montpellier : F. Saigné ;
- ❖ Campus Spatial Diderot, UnivEarthS, Sorbonne Paris Cité : M. Agnan ;
- ❖ CERES, ESEP/PSL : B. Mosser, B. Segret

International partners

- ❖ OLFAR group in NL (Eindhoven, Nijmegen, ASTRON).

Tools used to prepare the science objectives

Science to System Requirement Matrix (lead by A. Laurens, CNES)

- ❖ Listing of science objectives and translation into requirements on system and instrument performances

Traceability Matrix (lead by B. Segret, ESEP)

- ❖ Listing of science objectives with instrumental constraints

Science objective selection

- ❖ According to the available expertise in the consortium:
a lot of solar system, some pulsars, and some cosmology

List of Science objectives

S-ID	Science Topic	Observed Phenomena
<i>Cosmology and Astrophysics</i>		
S-CA1	Low frequency anisotropy of CMB	21 cm Line redshifted to 5-30 MHz range
S-CA2	Foreground sources	Extragalactic sources
S-CA3	Foreground sources	Low frequency sky mapping
S-CA4	Pulsars	Low frequency dispersion of pulsars
<i>Solar and Stellar Physics</i>		
S-SO1	Solar physics and Space Weather	Radio bursts associated with solar flares, CME and interplanetary shocks
S-SO2	Solar physics and Space Weather	In-situ electrostatic waves
S-SO3	Solar physics and Space Weather	Quasi thermal noise spectroscopy
S-ST1	Stellar physics	Stellar radio bursts
<i>Planetary and Magnetospheric Sciences</i>		
S-PM1	Magnetospheric radio emissions	Terrestrial magnetospheric radio emissions
S-PM2	Magnetospheric radio emissions	Jovian magnetospheric radio emissions
S-PM3	Magnetospheric radio emissions	Kronian magnetospheric radio emissions
S-PM4	Magnetospheric radio emissions	Uranus and Neptune auroral radio emissions
S-PM5	Magnetospheric radio emissions	Exoplanetary auroral radio emissions
S-PA1	Planetary atmospheric electricity	Terrestrial lightnings
S-PA2	Planetary atmospheric electricity	Kronian lightnings
S-PA3	Planetary atmospheric electricity	Uranus lightnings
S-PB1	Planetary Radiation Belts	Earth radiation belts
S-PB2	Planetary Radiation Belts	Jupiter radiation belts

Table 3. Science Objectives

From Science Objectives to Measurement Performances

S-ID	Spectral Scale			Fluct.	Signal Scale Max.	Dyn.	Spatial Scale		Temporal Scale			Polarization	
	Min.	Max.	Resol.				Min	Max	Dur.	Repet.	Resol.	Circ.	Lin.
S-CA1	5 MHz	50 MHz	1 MHz	noise	1 Jy	70 dB	4π sr	4π sr	∞	—	—	?	?
S-CA2	300 kHz	100 MHz	?	?	?	?	?	?	?	?	?	?	?
S-CA3	300 kHz	100 MHz	100 kHz	10^{-3} Jy	10^6 Jy	90 dB	1'	4π sr	?	?	?	?	?
S-CA4	1 MHz	100 MHz	100 kHz	noise	1 Jy	120 dB	unresolved		100 ms	1 s	1 ms	yes	yes
S-ST1	300 kHz	100 MHz	?	?	?	?	?	?	?	?	?	?	?
S-SO1	10 kHz	100 MHz	10 kHz	noise	10^{12} Jy	80 dB	1'	90°	2 h	random	10 ms	no below 20 MHz electrostatic	
S-SO2	100 Hz	100 kHz	—	1 mV/m	200 mV/m	30 dB	—	—	10 ms		10 μ s		
S-SO3	1 kHz	100 kHz	1%	10^6 Jy	10^8 Jy	80 dB	—	∞		1 s		0%	100%
S-PM1	10 kHz	1 MHz	1 kHz	noise	10^{11} Jy	120 dB			10 h	24 h	1 ms	100 %	0%
S-PM2	10 kHz	45 MHz	1-1000 kHz	noise	10^8 Jy	120 dB			9.5 h	9.5 h	1 ms	100-70 %	0-50%
S-PM3	10 kHz	1 MHz	1 kHz	noise	10^5 Jy	120 dB			6 h	10 h	1 ms	100-70 %	0-50%
S-PM4	10 kHz	1 MHz	1 kHz	noise	100 Jy	120 dB					1 ms		
S-PM5	300 kHz	100 MHz	10-1000 kHz	noise	1 Jy	120 dB	unresolved		?	?	?	?	?
S-PA1	5 MHz	50 MHz	100 kHz	noise	10^{10} Jy	100 dB		1'	<1 ms	random	1 ms		
S-PA2	500 kHz	50 MHz	100 kHz	noise	10^3 Jy	100 dB		1'	<1 ms	random	1 ms		
S-PA3	500 kHz	50 MHz	100 kHz	noise	100 Jy	100 dB		1'	<1 ms	random	1 ms		
S-PB1	100 kHz	1 MHz	10 kHz	10^{-1} Jy	10^{-3} Jy	60 dB		10'	continuous		15 min		
S-PB2	10 MHz	100 MHz	1 MHz	noise	6 Jy	60 dB		10''	continuous		30 min	1%	10%

Table 4. Science Performance Requirements

Publications

- ❖ **NOIRE: Nanosatellites pour un Observatoire Interférométrie Radio dans l'Espace** – B . Cecconi – *NanoSSA Nanosats et Météo de l'Espace, 11-12 juin 2015, Grenoble (France)*
- ❖ **Mapping the Radio Sky from 0.1 to 100 MHz with NOIRE** – B. Cecconi et al. – *SF2A 2016 (incl. proceeding)*
- ❖ **The NOIRE Study** – B. Cecconi et al. – *SF2A 2016 (incl. proceeding)*
- ❖ **Relative Navigation for a Network of Nanosatellites in Lunar Orbit** – M. Delpech, A. Laurens – *GNC 2017 10th International ESA Conference on Guidance, Navigation & Control Systems, 29 May-2 June 2017, Salzbourg (Austria)*
- ❖ **NOIRE Study** – B. Cecconi – *International Workshop on Solar, Heliospheric and Magnetospheric Astronomy, 6-10 Nov. 2017, Observatoire de Paris, Meudon (France)*
- ❖ **NOIRE Study Report: Towards a Low Frequency Radio Interferometer in Space** – B. Cecconi et al. – *IEEE Aerospace Conference 2018 (incl. proceeding)*
- ❖ **NOIRE Study Report: Towards a Low Frequency Radio Interferometer in Space** – B. Cecconi et al. – *EGU 2018*
- ❖ **NOIRE Study Report: Towards a Low Frequency Radio Interferometer in Space** – B. Cecconi, A. Laurens et al. – *7th Interplanetary CubeSat Workshop, May 2018*